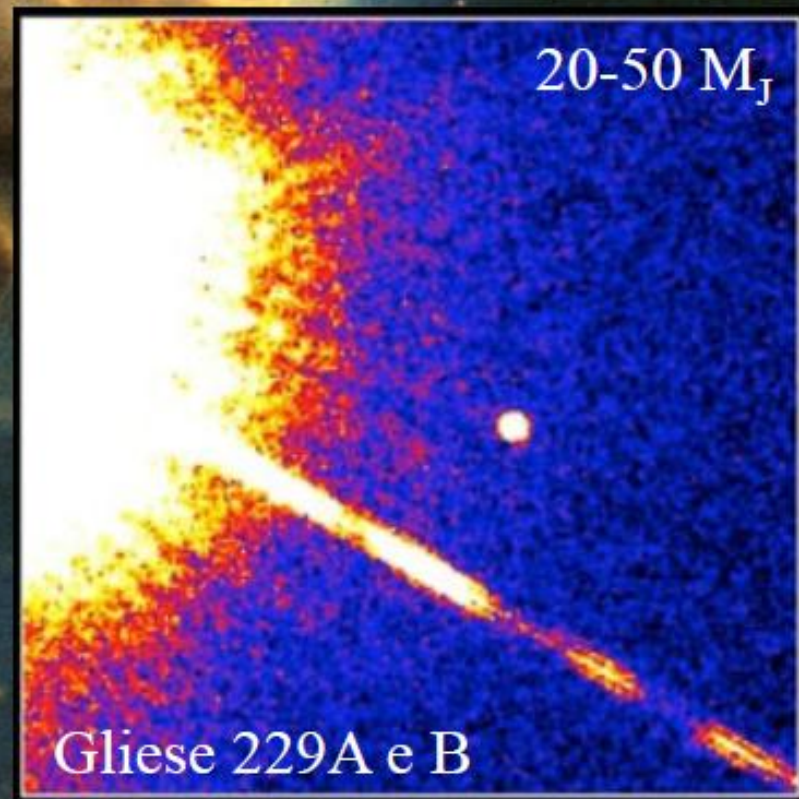
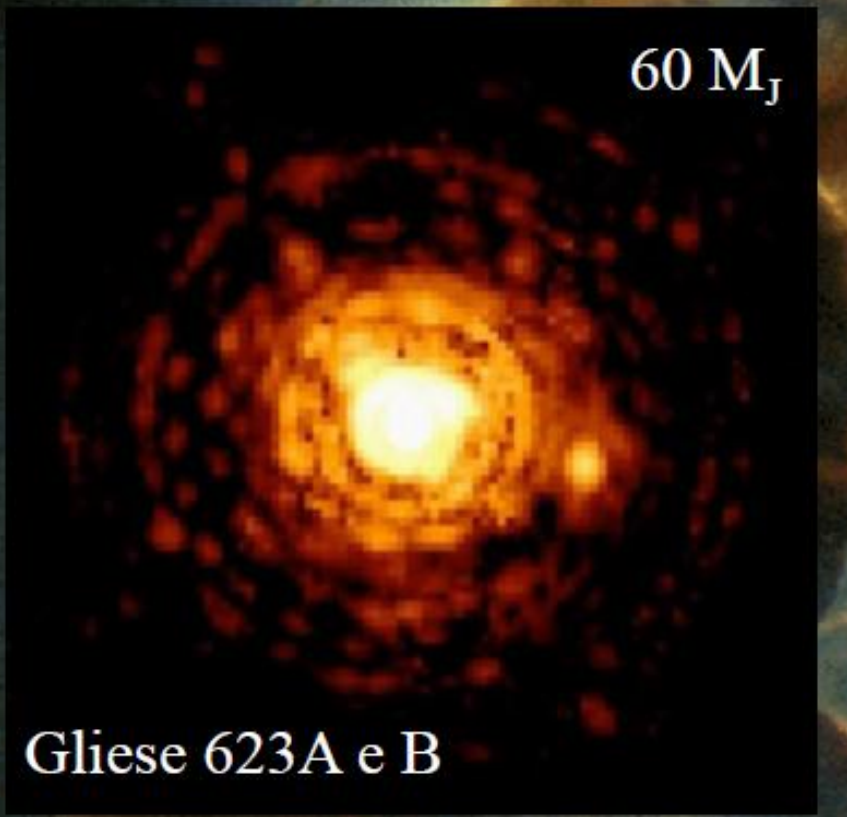


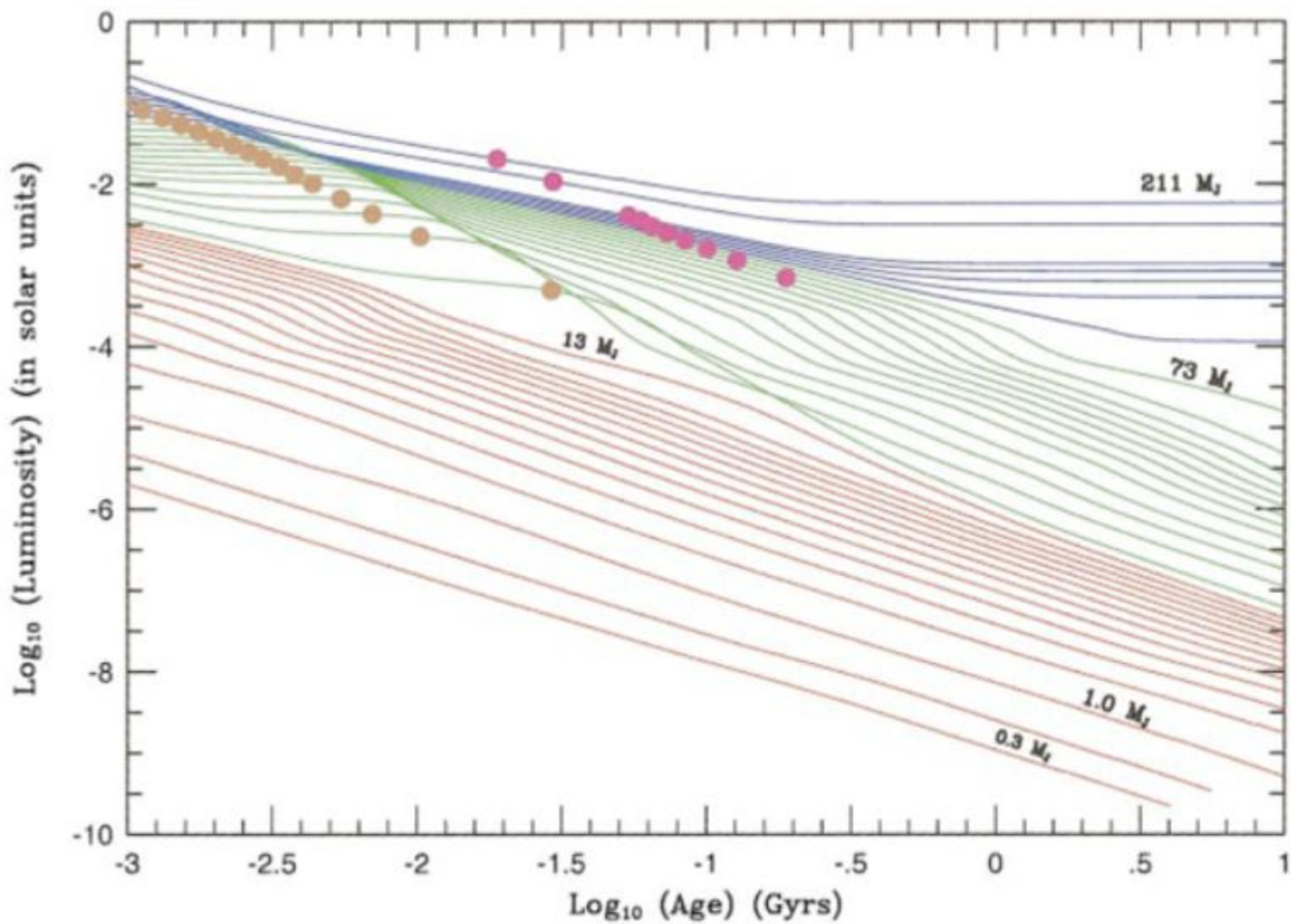
Characterization of Extrasolar Planets

R.U. Claudi

Un pianeta già formato è molto piccolo rispetto ad una stella. Giove ha un diametro di 140 mila km e la sua luce riflessa sarebbe difficilissima da rivelare attorno ad un'altra stella.



Evoluzione della luminosità'



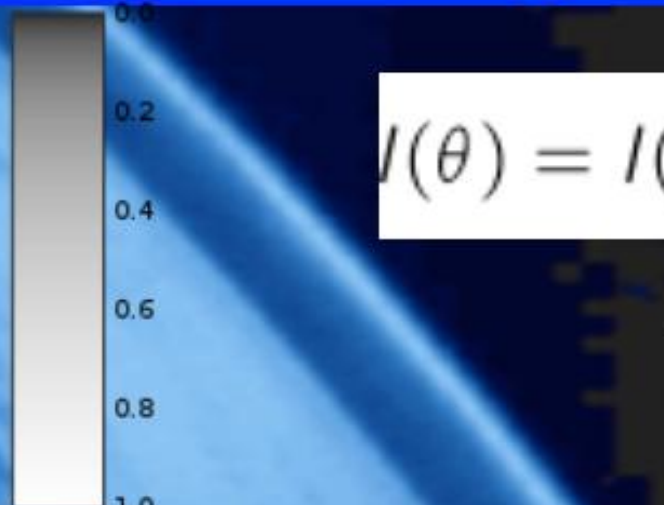
CONTRASTO STELLA-PIANETA

$$\text{Contrast} = F_{\text{planet}} / F_{\text{star}}$$

WARM PLANETS: Contrast is independent of separation

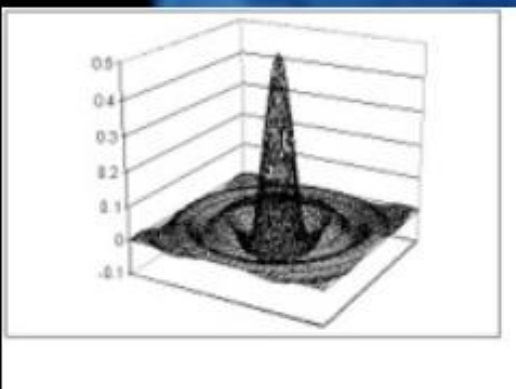
COLD PLANETS: Contrast is dependent on separation (closer the planet brighter it'll be) and on the orbital phase. It is independent of the parent star luminosity, age and planetary mass.

Diffraction Image: Airy Disk

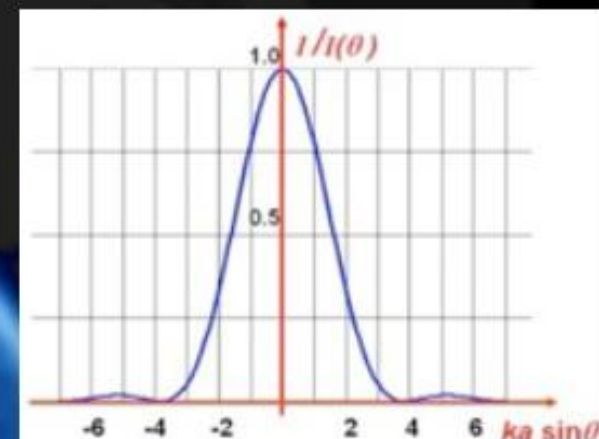


$$I(\theta) = I(0) \left[\frac{2J_1(ka \sin \theta)}{ka \sin \theta} \right]^2$$

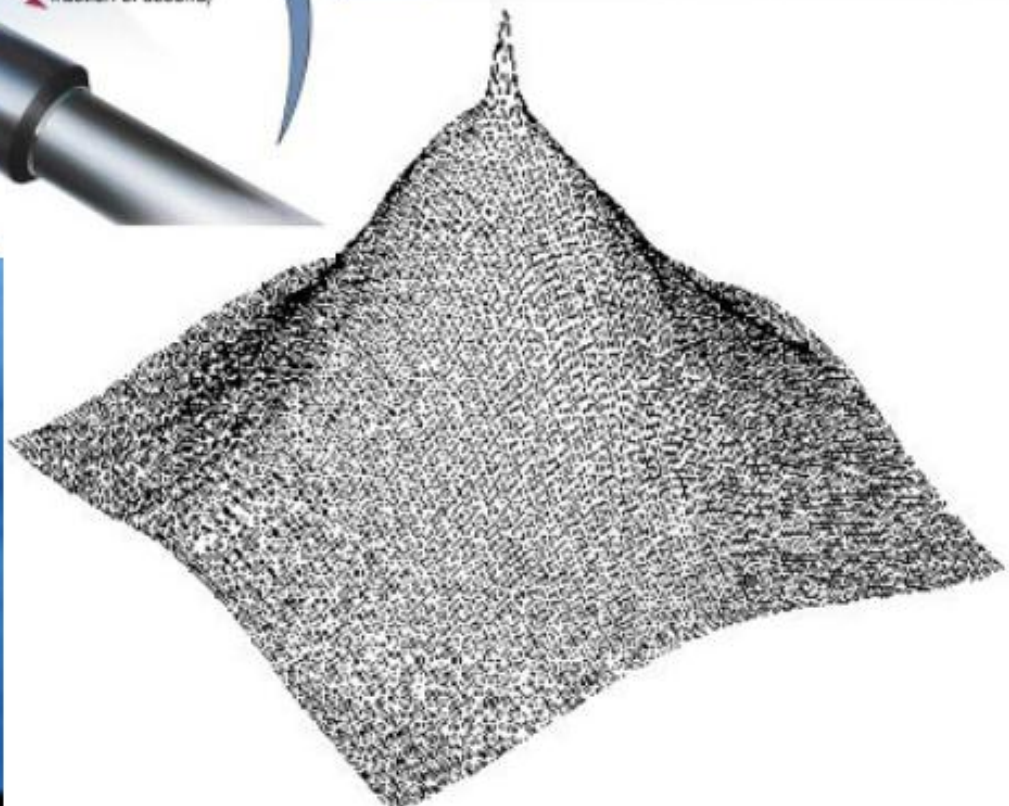
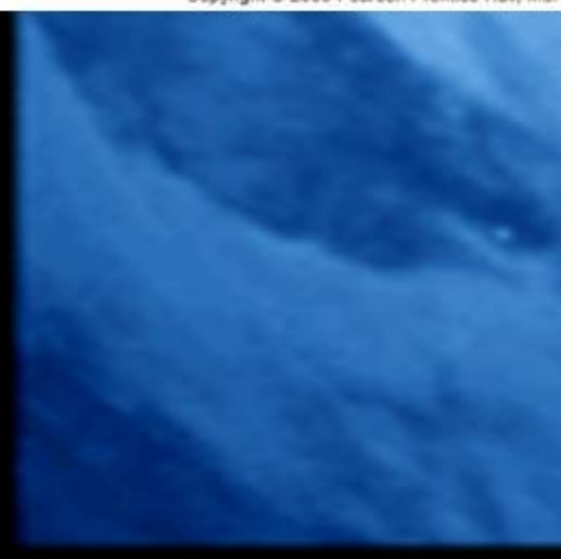
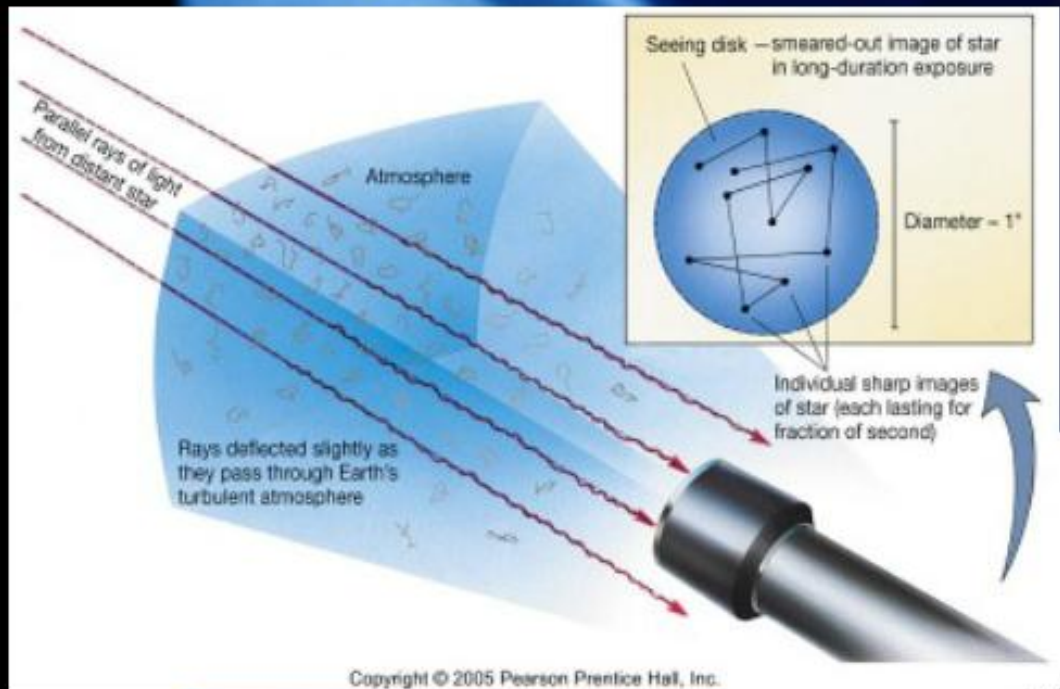
$$D \sin \theta = 1.22\lambda$$



$$\theta \simeq 1.22 \frac{\lambda}{D}$$



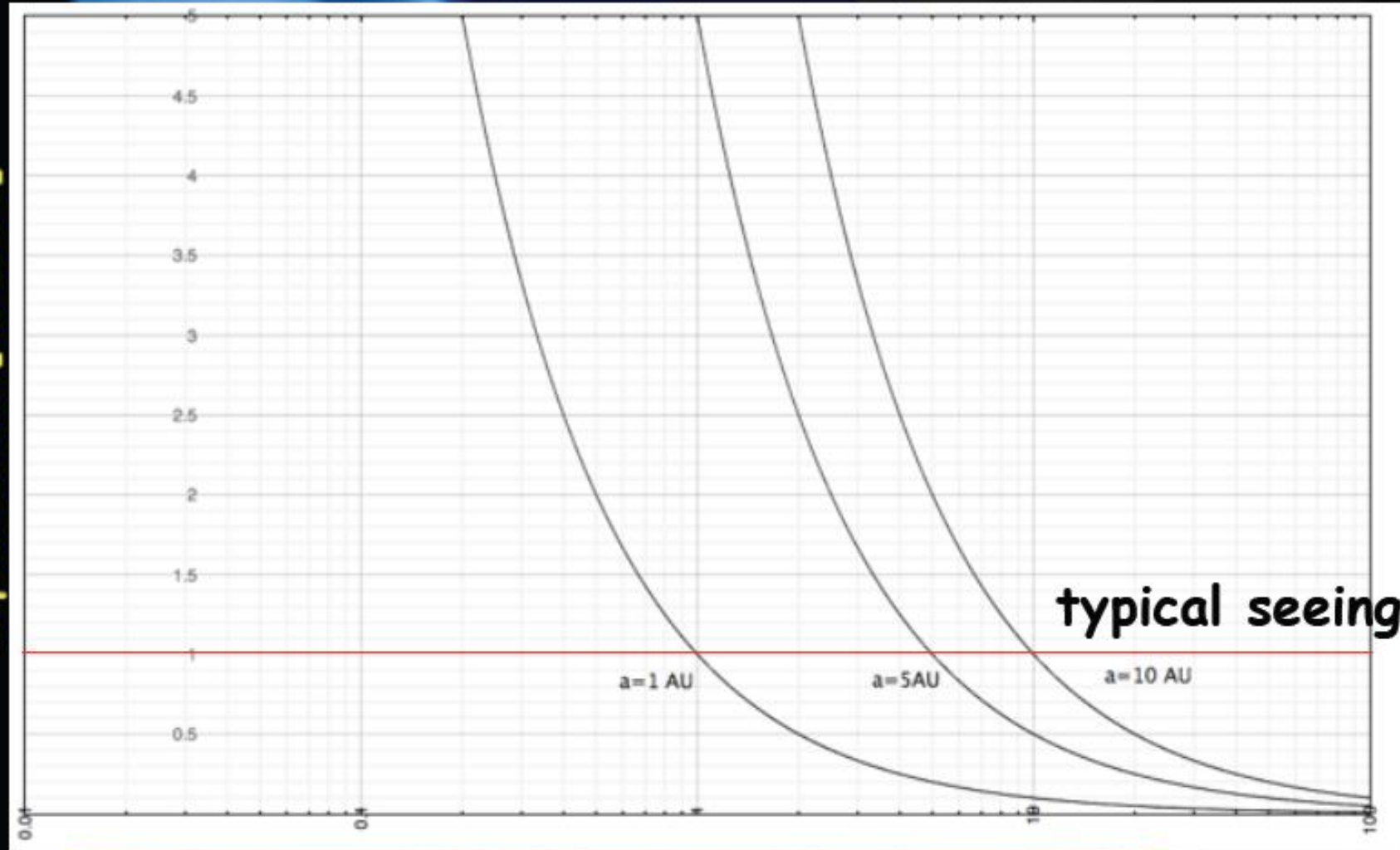
The Reality: Seeing Disk



Copyright © 2005 Pearson Prentice Hall, Inc.

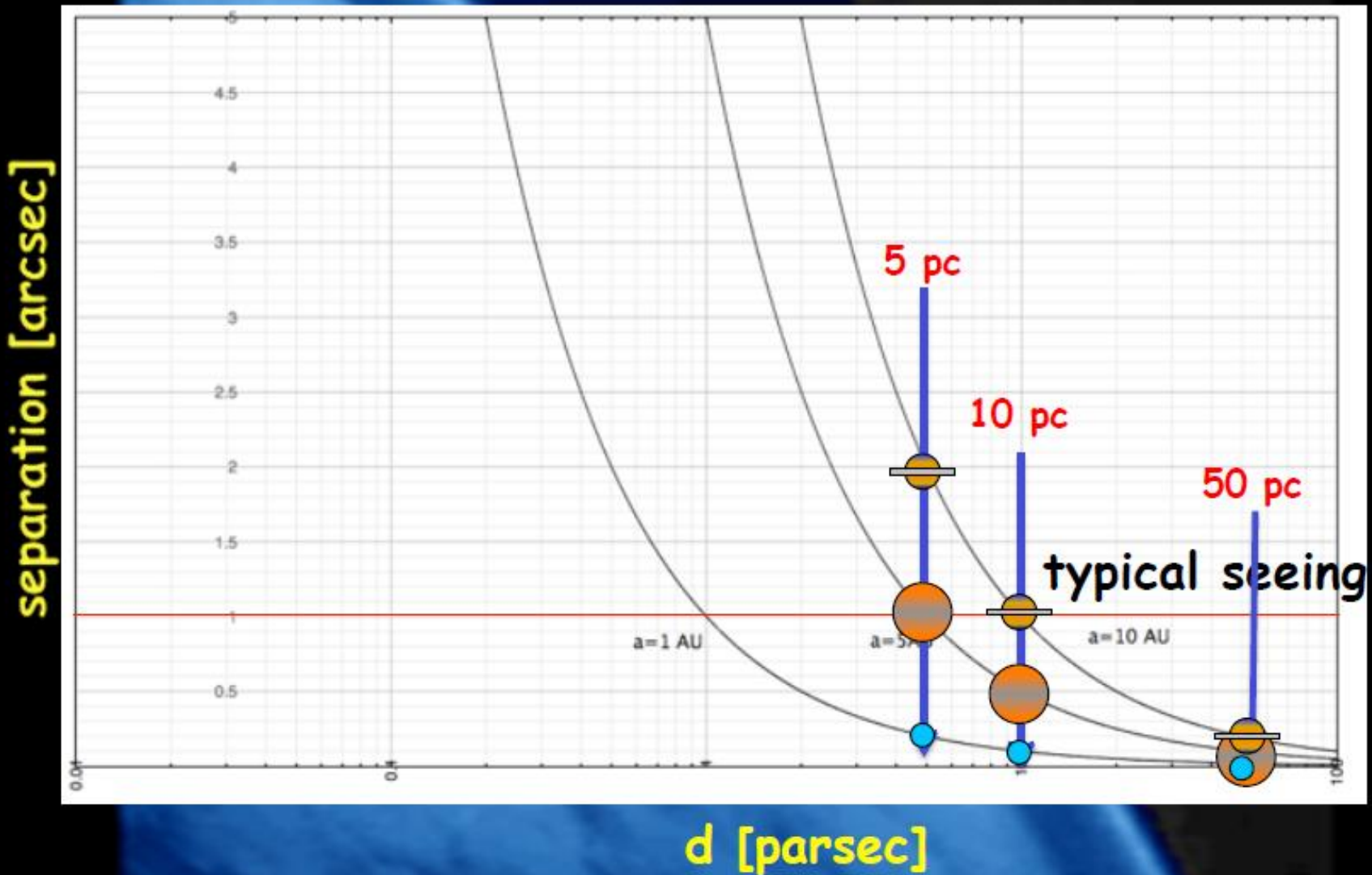
distance versus separation

separation [arcsec]

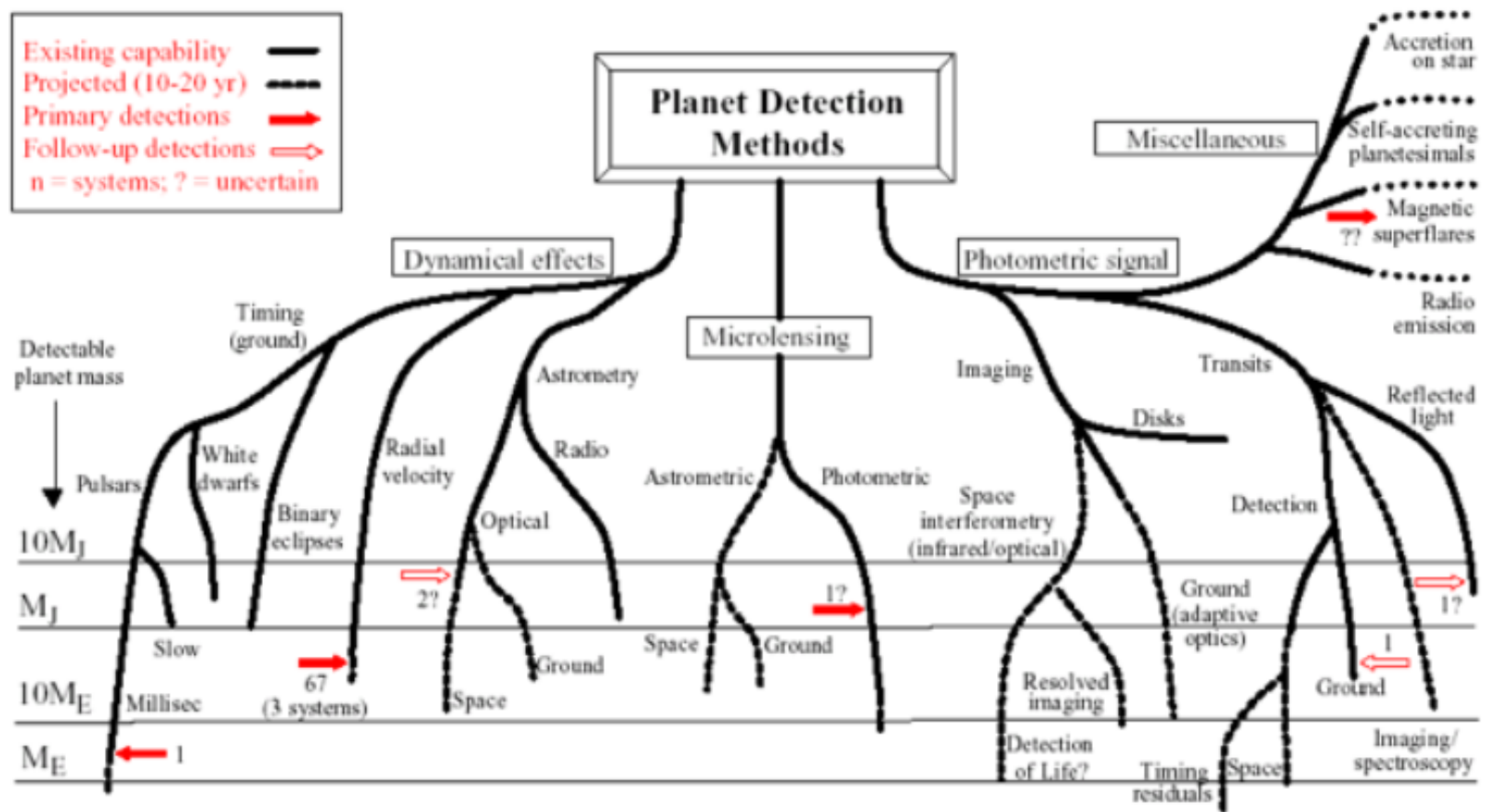


d [parsec]

distance versus separation



Existing capability —
 Projected (10-20 yr) - - -
 Primary detections →
 Follow-up detections ⇢
 n = systems; ? = uncertain



M. Perryman, 2001 (from: <http://www.obspm.fr/encycl/searches.html>)

Censimento dei Pianeti (<http://exoplanet.eu/>)

I pianeti extrasolari noti a Marzo 2014 sono **1771**:

Velocità Radiali **413 Sistemi** (Marzo 2014)

550 pianeti

96 Sistemi multipli

Transiti **613 Sistemi** (Marzo 2014)

1130 Pianeti

350 Sistemi multipli

μ-lenti **28 pianeti** (Marzo 2014)

Imm. Diretta **47 pianeti** (Marzo 2014)

Timing **14 pianeti** (Marzo 2014)

Indirect Methods

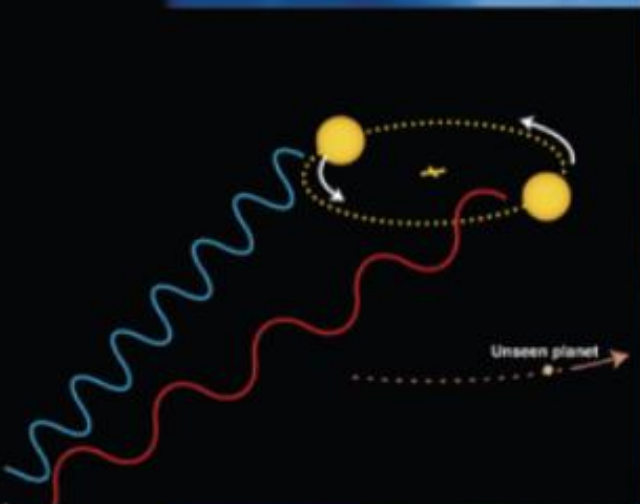
- Radial Velocities
- Astrometry
- Transits
- Gravitational Microlens
- Timing

Metodo delle velocità Radiali

Tecnica:

La velocità radiale di una stella in orbita attorno al baricentro del sistema stella-pianeta varia nel tempo con una semiampiezza K data da:

$$k_1 = \frac{28.4 \text{ m s}^{-1}}{\sqrt{1 - e^2}} \frac{m_2 \sin i}{M_{\text{Jup}}} \left(\frac{m_1 + m_2}{M_{\text{Sun}}} \right)^{-2/3} \left(\frac{P}{1 \text{ yr}} \right)^{-1/3}$$



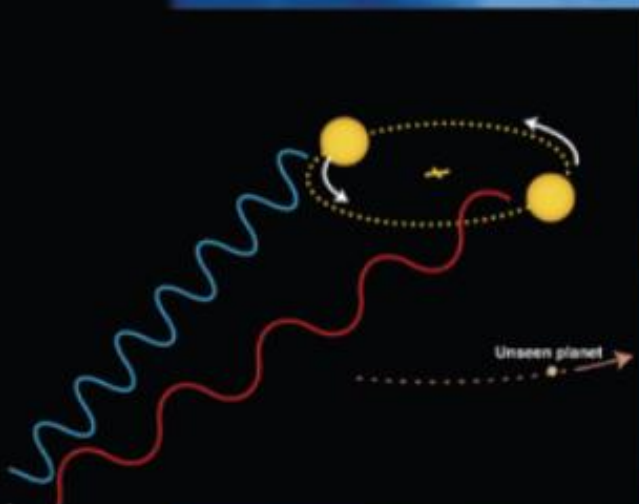
Jupiter	@ 1 AU	: 28.4 m s ⁻¹
Jupiter	@ 5 AU	: 12.7 m s ⁻¹
Neptune	@ 0.1 AU	: 4.8 m s ⁻¹
Neptune	@ 1 AU	: 1.5 m s ⁻¹
Super-Earth (5 M _⊕)	@ 0.1 AU	: 1.4 m s ⁻¹
Super-Earth (5 M _⊕)	@ 1 AU	: 0.45 m s ⁻¹
Earth	@ 1 AU	: 9 cm s ⁻¹

Metodo delle velocità Radiali

Tecnica:

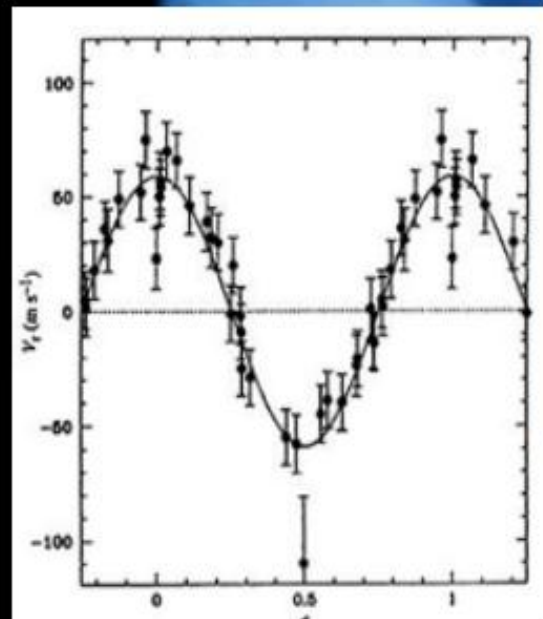
La velocità radiale di una stella in orbita attorno al baricentro del sistema stella-pianeta varia nel tempo con una semiampiezza K data da:

$$k_1 = \frac{28.4 \text{ m s}^{-1}}{\sqrt{1 - e^2}} \frac{m_2 \sin i}{M_{\text{Jup}}} \left(\frac{m_1 + m_2}{M_{\text{Sun}}} \right)^{-2/3} \left(\frac{P}{1 \text{ yr}} \right)^{-1/3}$$

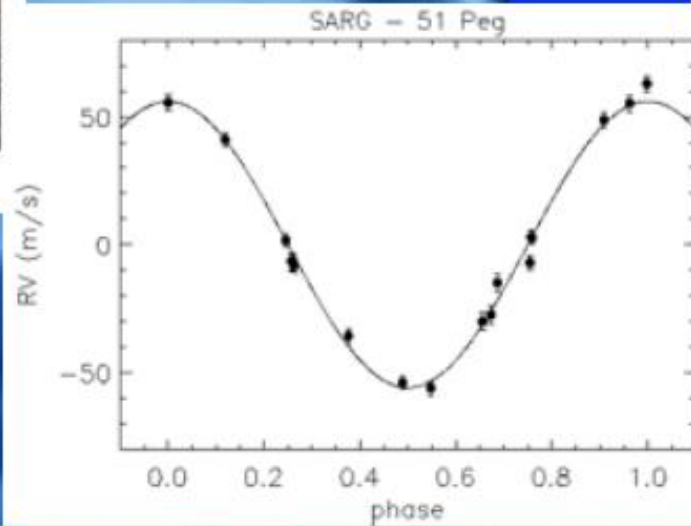


Jupiter	@ 1 AU	: 28.4 m s ⁻¹
Jupiter	@ 5 AU	: 12.7 m s ⁻¹
Neptune	@ 0.1 AU	: 4.8 m s ⁻¹
Neptune	@ 1 AU	: 1.5 m s ⁻¹
Super-Earth (5 M _⊕)	@ 0.1 AU	: 1.4 m s ⁻¹
Super-Earth (5 M _⊕)	@ 1 AU	: 0.45 m s ⁻¹
Earth	@ 1 AU	: 9 cm s ⁻¹

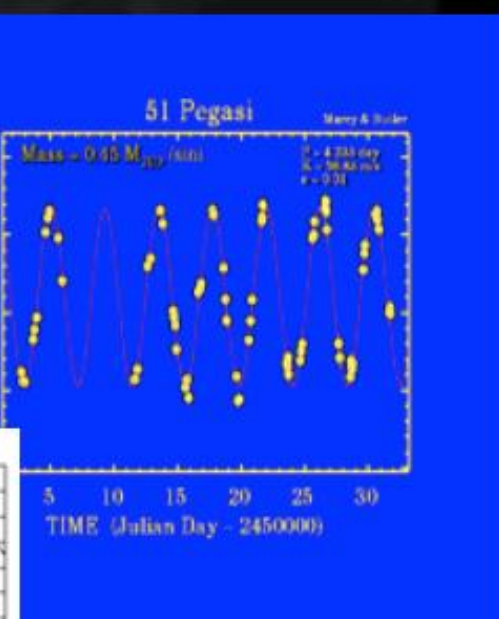
Curva di velocità per una stella con pianeta



RV (m s^{-1})



La curva di velocità radiale di 51 Peg da Mayor e Queloz (1995, a destra) e da Marcy e Butler (a sinistra), e quella dal SARG



51 Pegasi

Mayor & Queloz

Mass = $0.65 M_{\odot}$ / min
 $P = 4.231 \text{ day}$
 $K = 98.81 \text{ m/s}$
 $e = 0.01$

TIME (Julian Day - 2450000)

Misure di Velocità Radiali ad alta precisione

Le velocità vengono misurate confrontando la posizione delle righe spettrali della stella rispetto a quella misurata in laboratorio

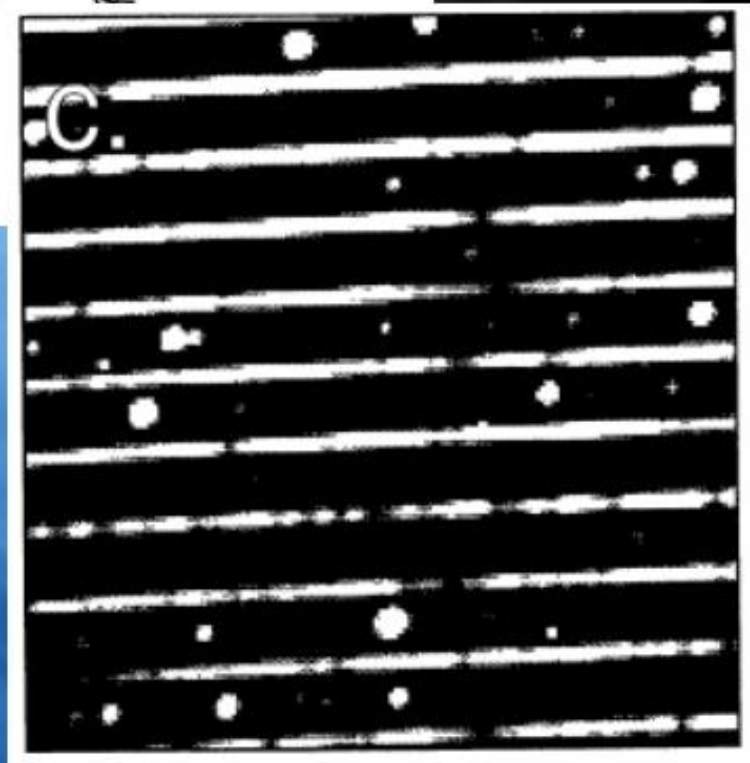
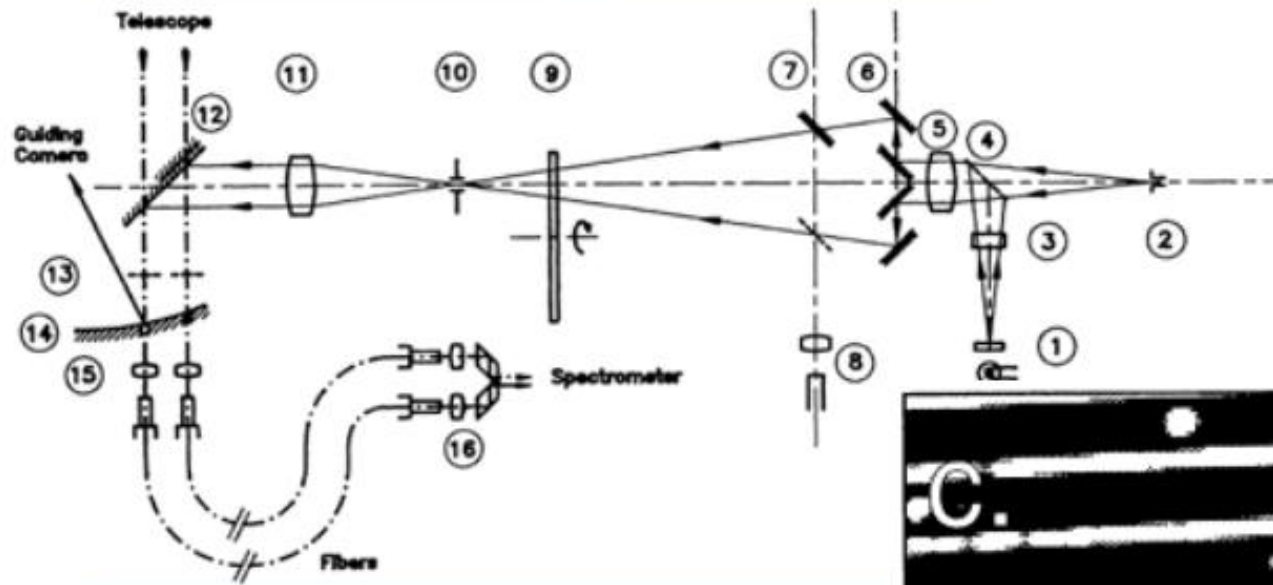
Problema:

Piccoli spostamenti dell'immagine della stella sulla fenditura di ingresso dello spettrografo possono causare errori importanti nelle misure

Soluzioni:

- a) Tecnica del Thorio Simultaneo
- b) Tecnica della cella assorbente

Thorio Simultaneo



Baranne et al., 1996

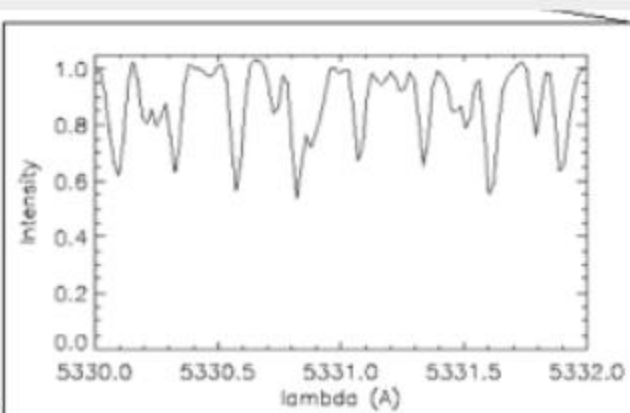
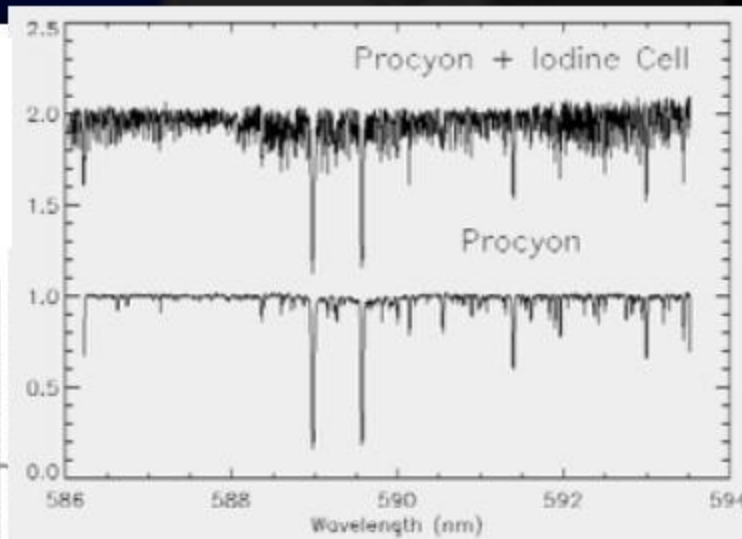
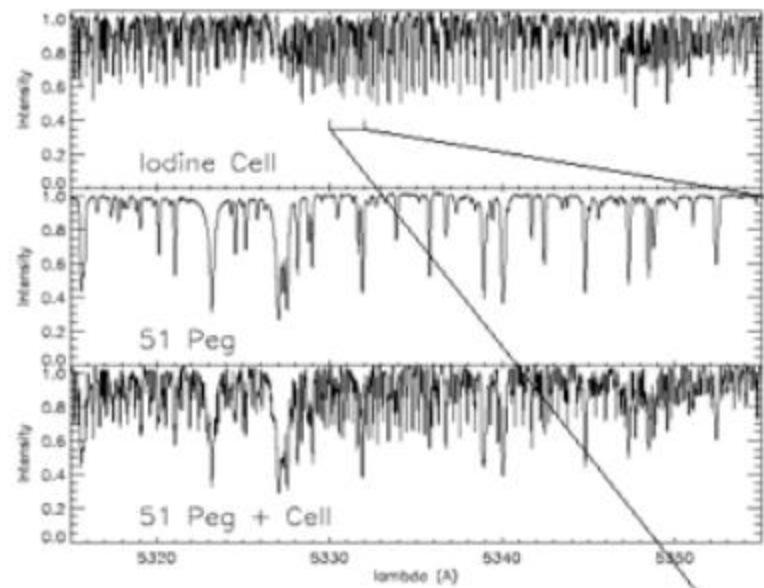
Misure di velocità radiale con la cella assorbente



La cella allo iodio del SARG



SARG Spectra with I₂ Absorbing cell



Photon noise limit to radial velocity determinations

$$\delta V_{RMS} = c / (Q \sqrt{N_{e^-}})$$

where:

δV_{RMS} = error in radial velocity variations

Q = spectrum quality factor = RQ_0 (spectral type), R being resolution

N_{e^-} = total number of photons detected in the useful spectral range

$$N_{e^-} = F_* S_{tel} \varepsilon_{tot} t_{exp} / 2.512^V$$

where:

F_* = photons/cm²s for a V=0 star

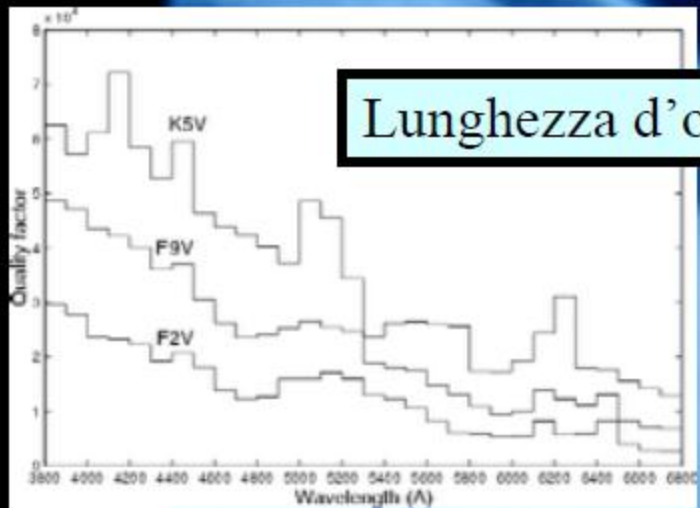
S_{tel} = telescope area (cm²)

ε_{tot} = total efficiency

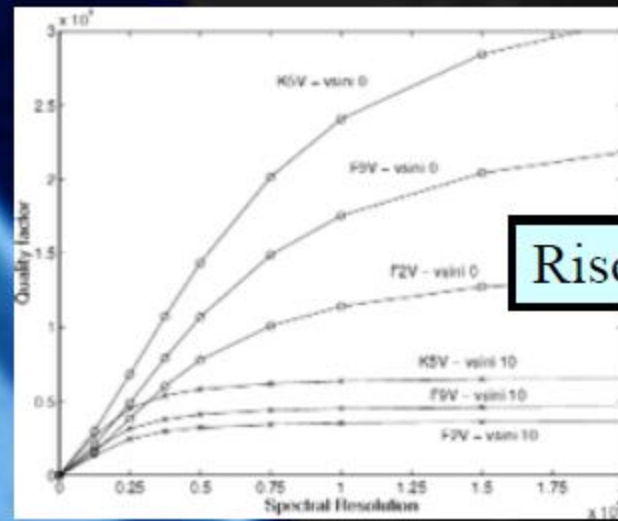
t_{exp} = exposure time (s)

from Bouchy et al. 2001, A&A, 374, 733

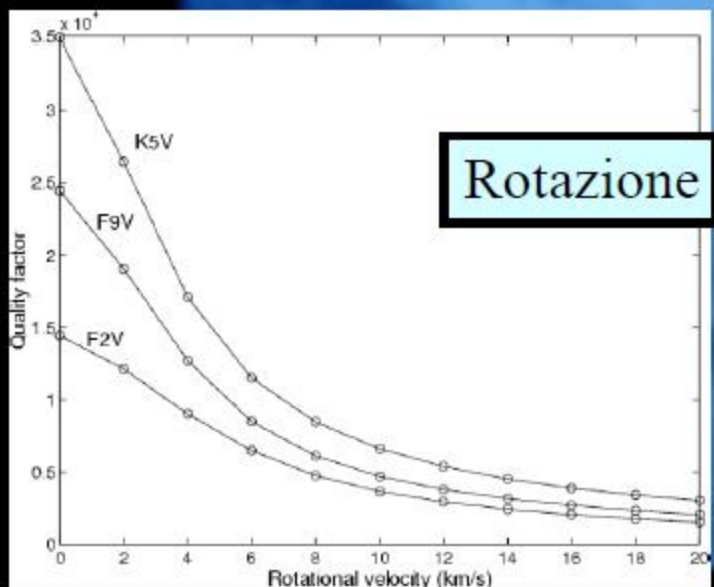
Dipendenze del fattore di qualita'



Lunghezza d'onda



Risoluzione

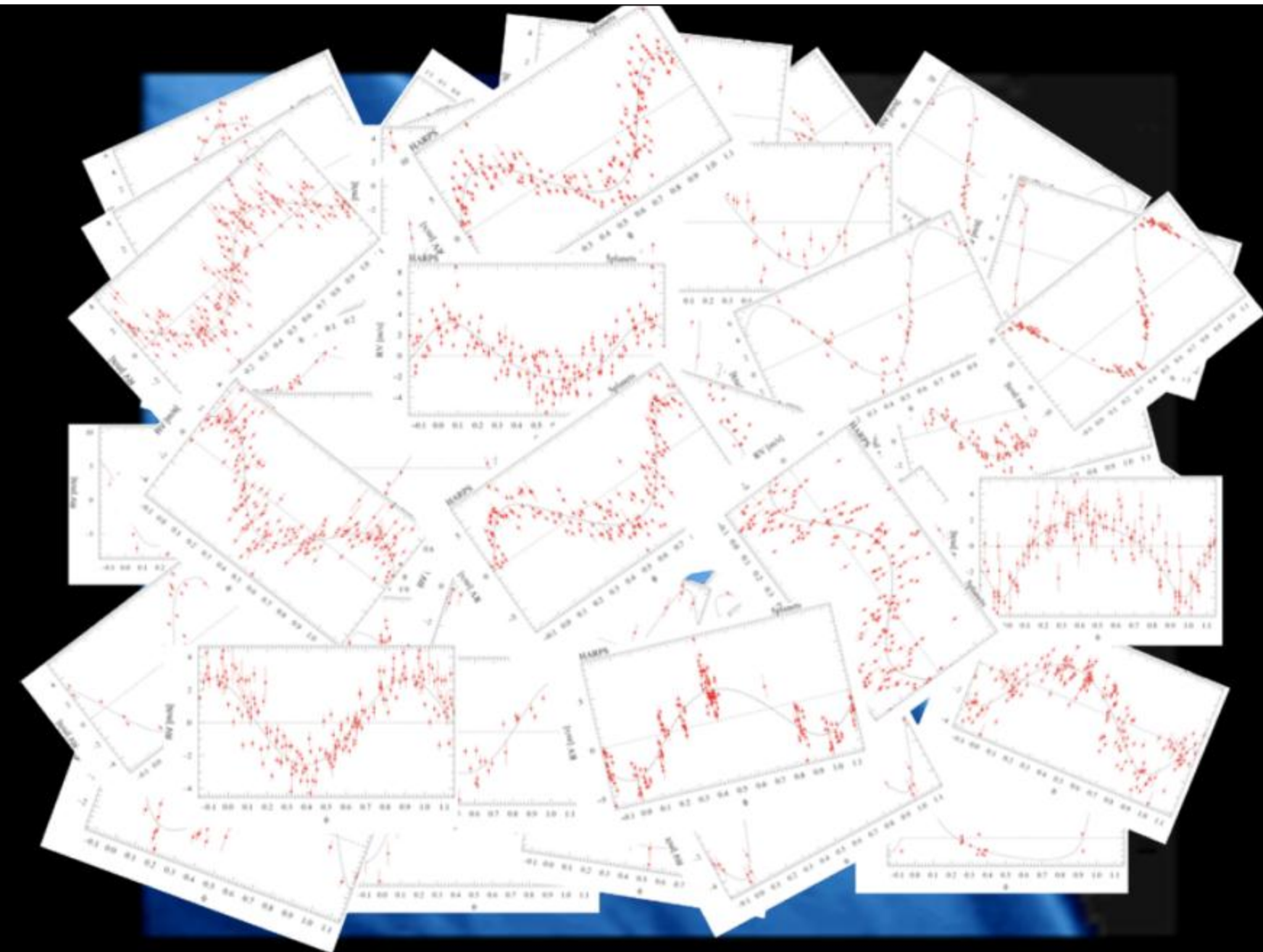


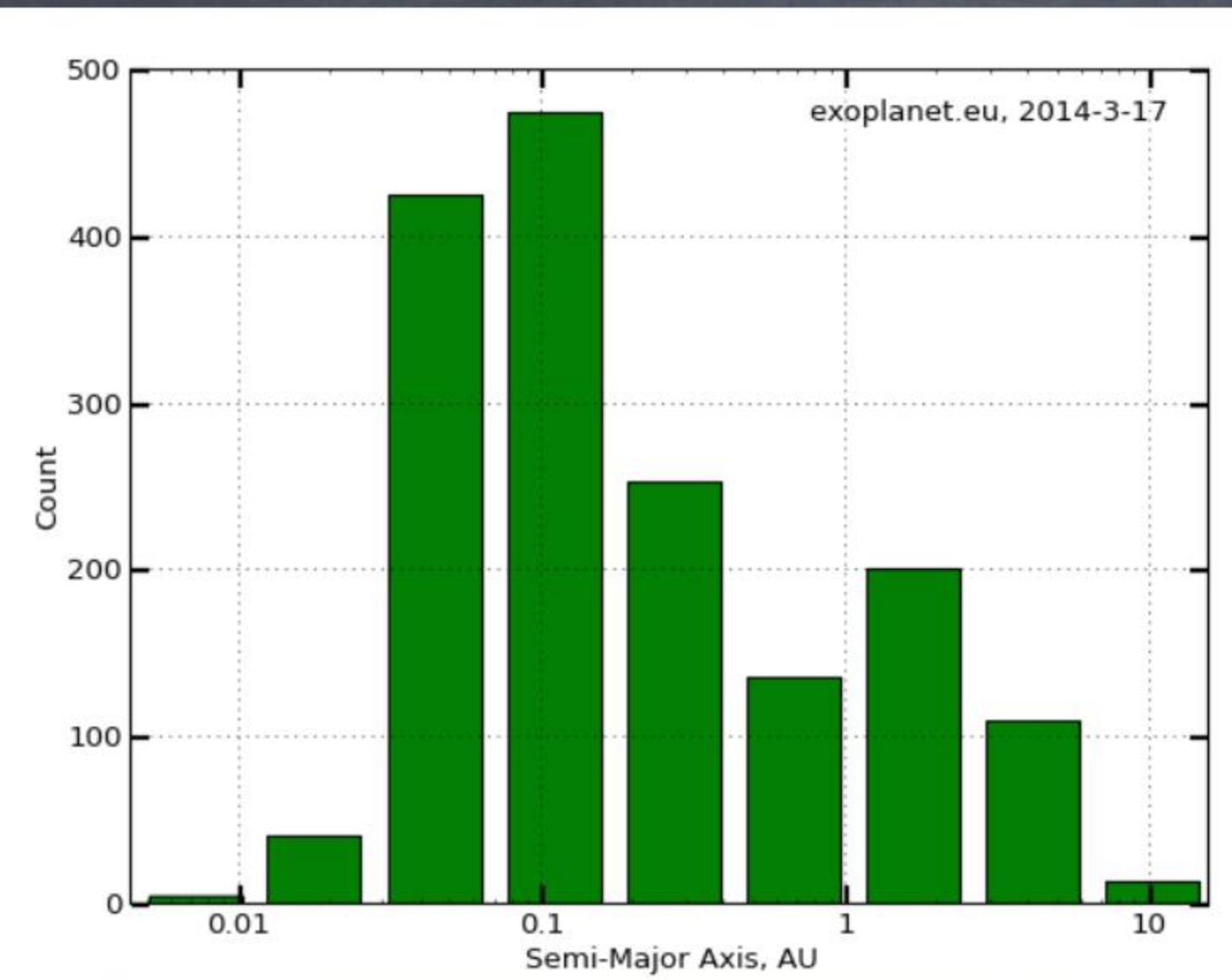
Rotazione

*from Bouchy et al. 2001,
A&A, 374, 733*

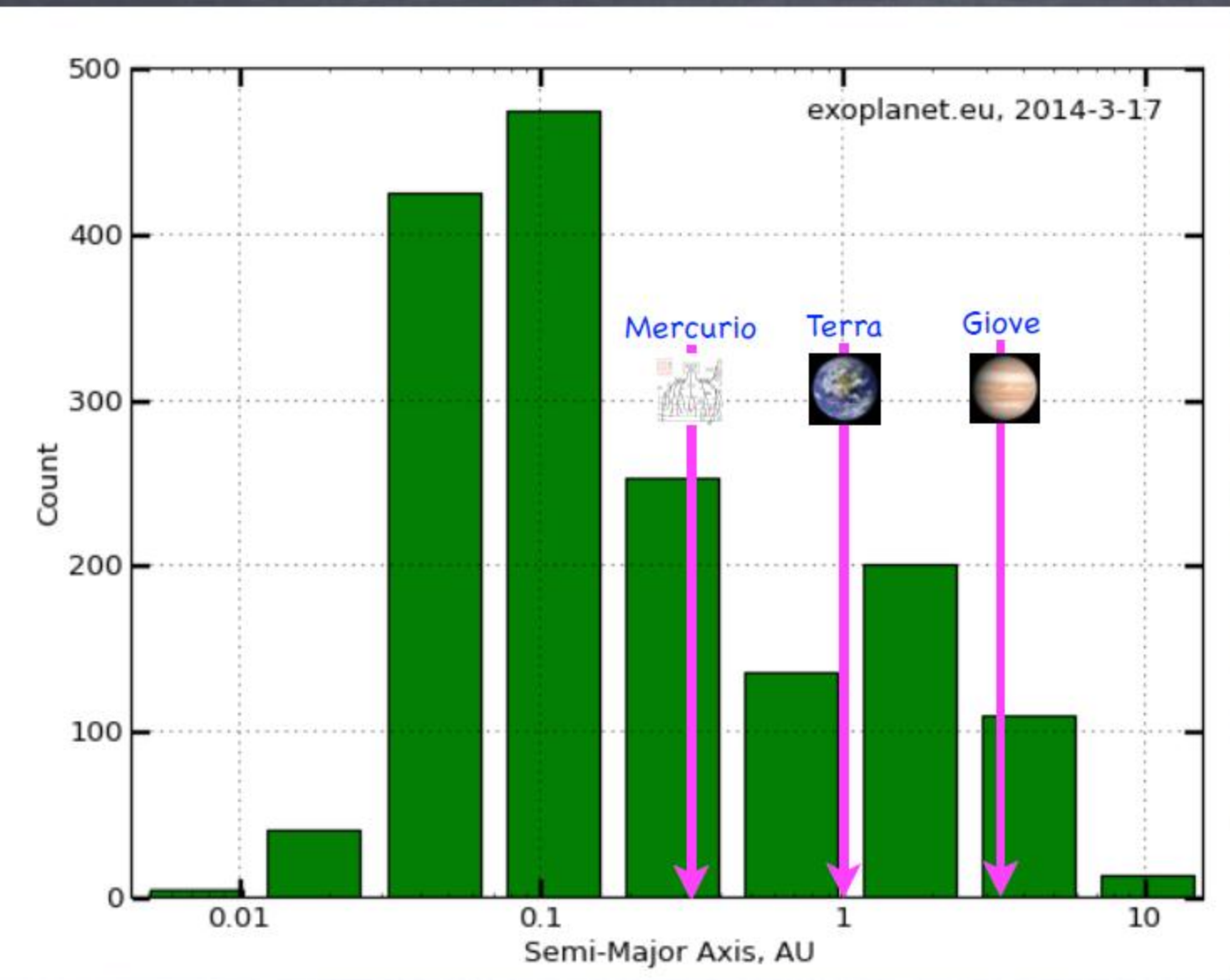
Difficoltà intrinseche delle survey di ricerca di pianeti con il metodo delle velocità radiali

- Molteplicità
- Radial velocity jitter dovuto ad attività e convezione
- Pulsazioni Stellari





exoplanet.eu, 2014-3-17



exoplanet.eu, 2014-3-17

Mercurio

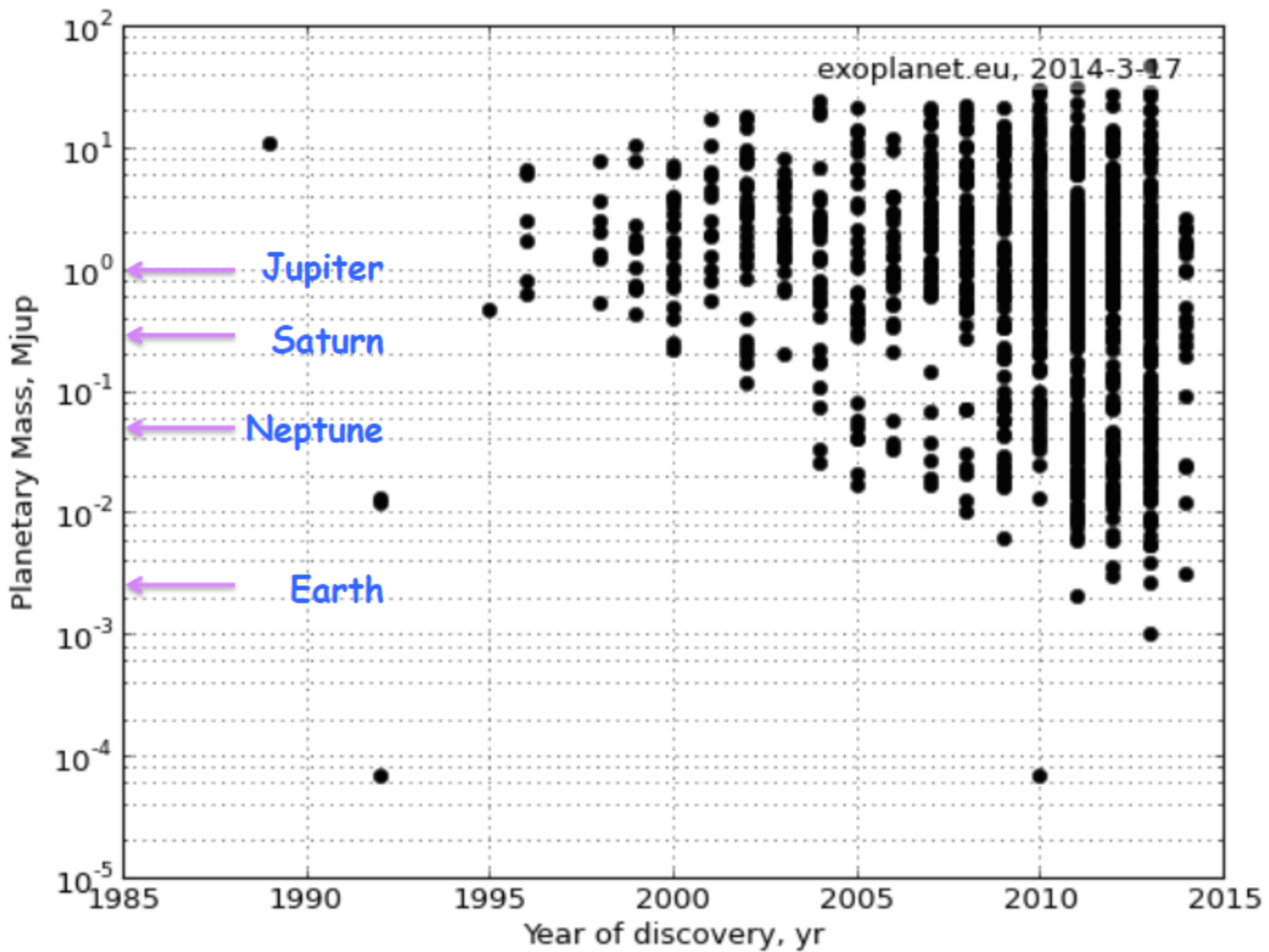


Terra



Giove





Terra!

0.1 M Sole

3 M Terra

2 M Terra

1 M Terra

d=38.7 pc

KOI-961

Planet 02

01

03

Jupiter

Io

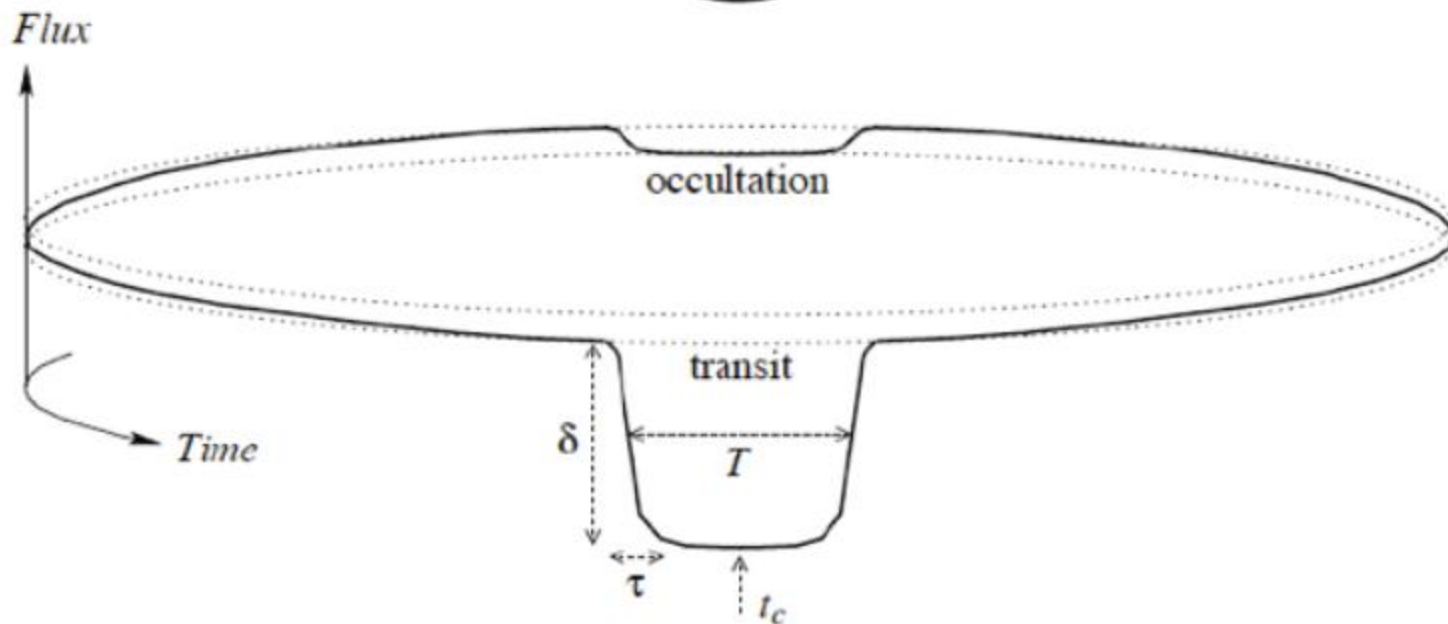
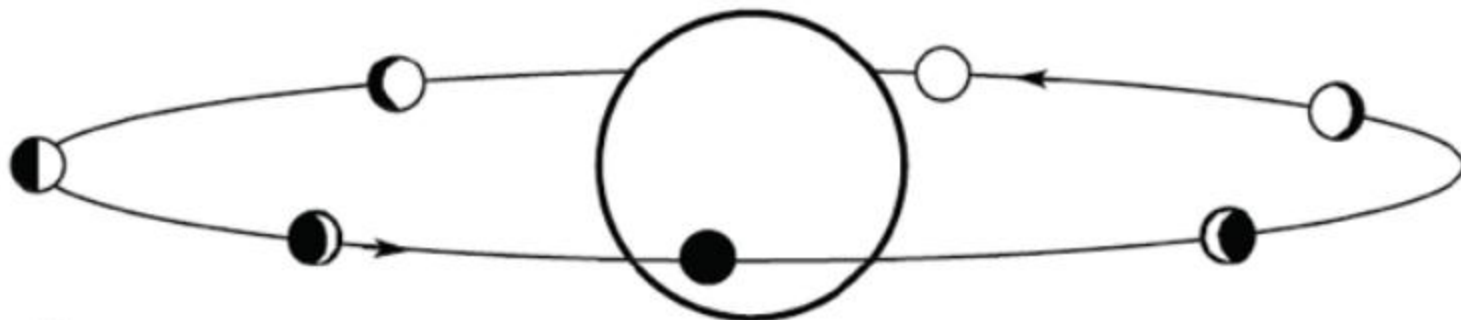
Europa

Ganymede

Callisto



TRANSITI



Cosa se ne ricava?

Radius ratio $R_p/R_s \approx \sqrt{\delta}$,

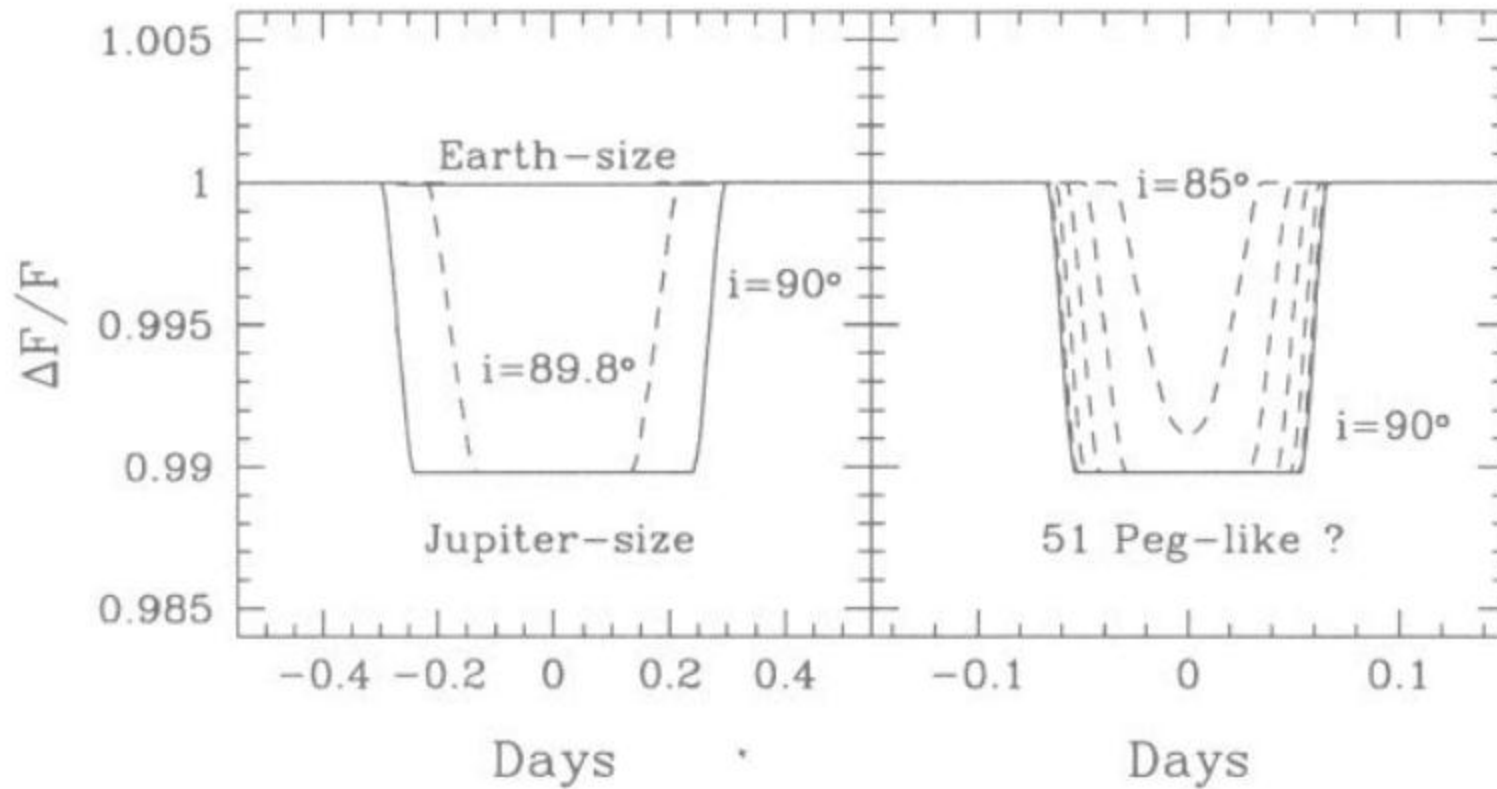
Impact parameter $b \approx 1 - \sqrt{\delta} \frac{T}{\tau}$,

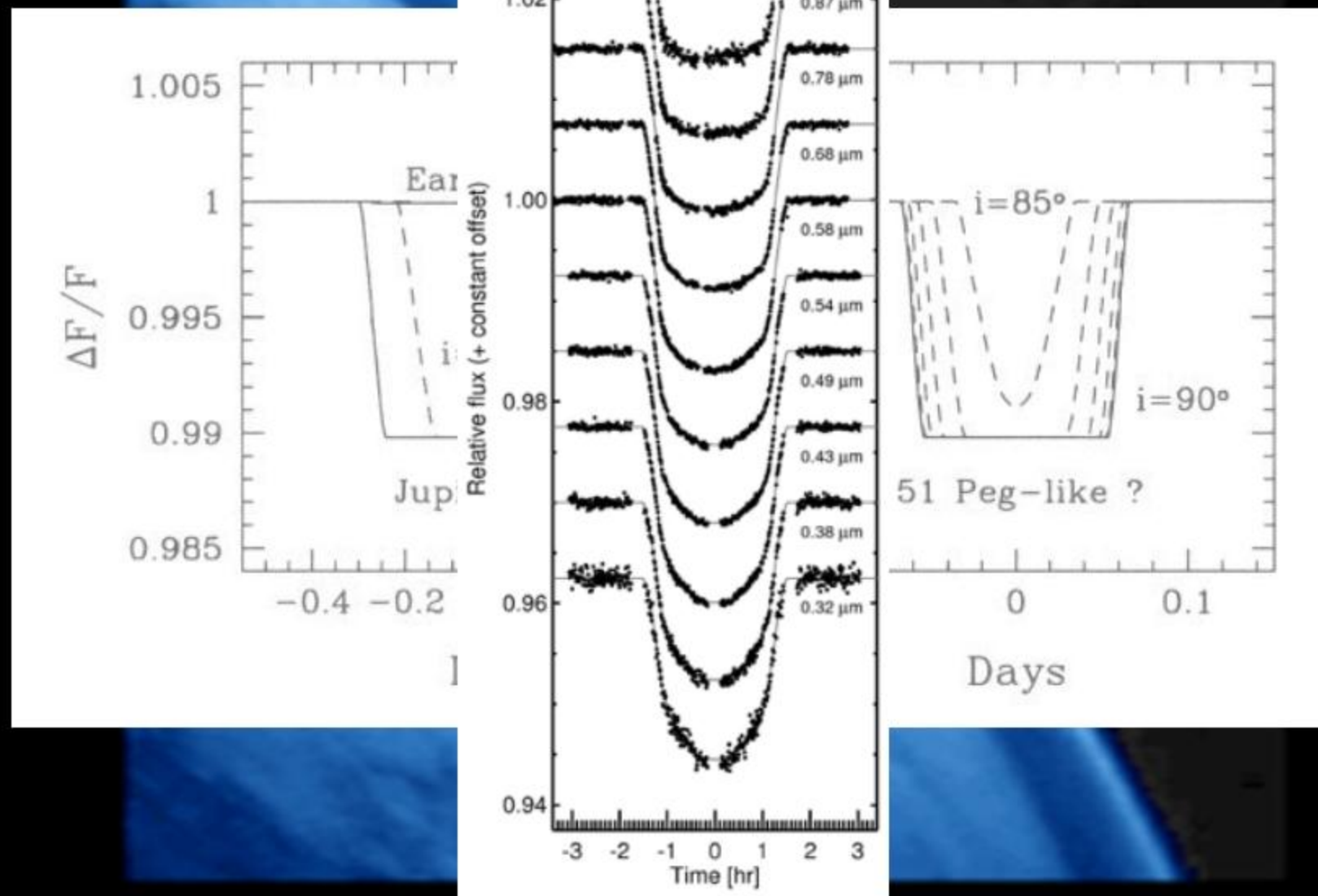
Scaled stellar radius $R_s/a \approx \frac{\pi \sqrt{T\tau}}{\delta^{1/4} P} \left(\frac{1 + e \sin \omega}{\sqrt{1 - e^2}} \right)$

Stellar mean density $\rho_s \approx \frac{3P}{\pi^2 G} \left(\frac{\sqrt{\delta}}{T\tau} \right)^{3/2} \left[\frac{1 - e^2}{(1 + e \sin \omega)^2} \right]^{3/2}$

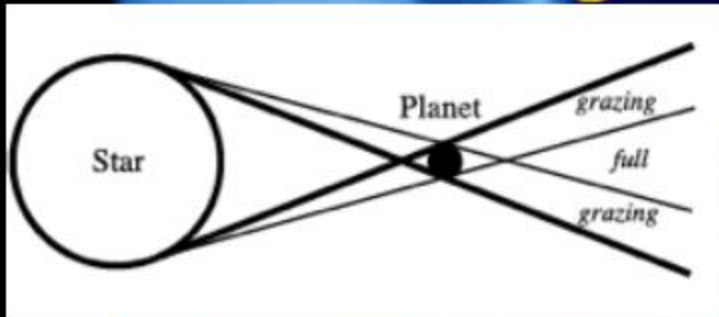
Planetary surface gravity $g_p \approx \frac{2\pi K_s}{P} \frac{\sqrt{1 - e^2}}{\delta(R_s/a)^2 \sin i}$,

Profondità del transito



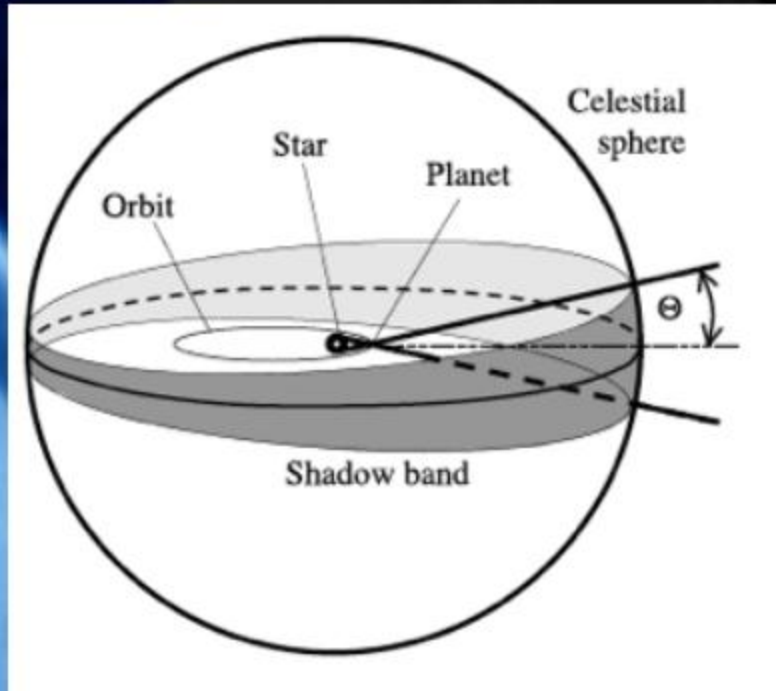


Probabilità geometrica di transito



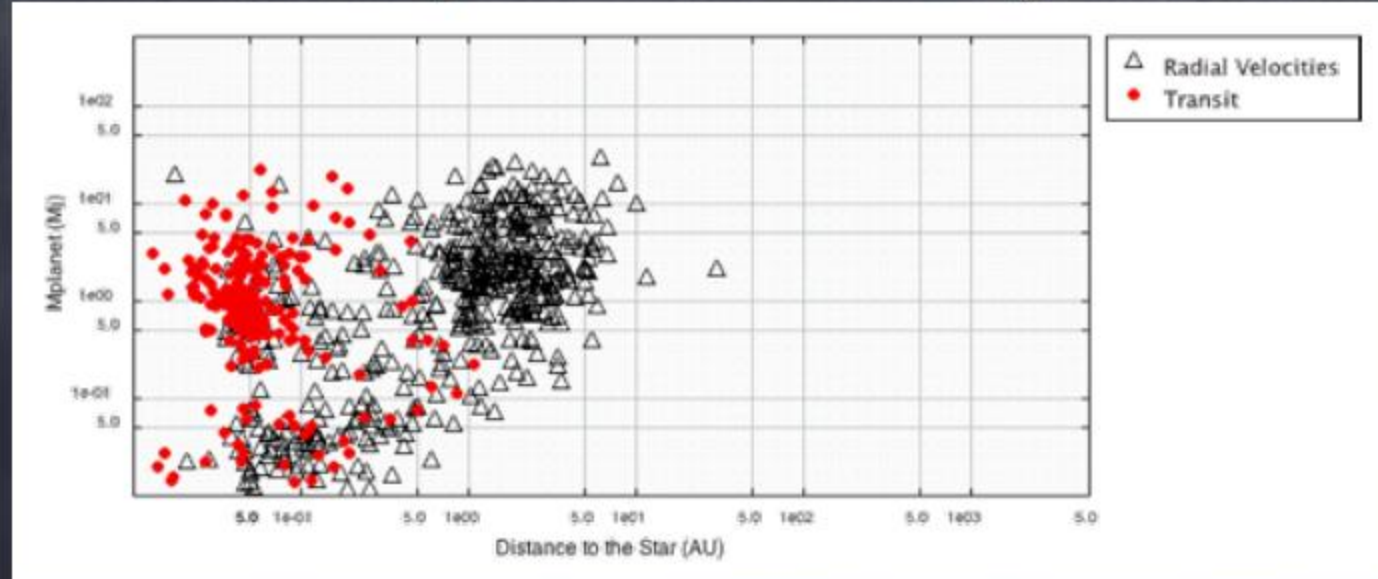
$$a \cos i \leq R_* + R_p$$

Inclinazione orientata a
caso e $\cos i$ varia in modo
casuale da 0 a 1



$$P(\cos i \leq \frac{R_* + R_p}{a}) = \frac{\int_0^{\frac{R_* + R_p}{a}} d(\cos i)}{\int_0^1 d(\cos i)} = \frac{R_* + R_p}{a} \approx \frac{R_*}{a}$$

Transit (In)direct technique: 1^{ary}/2^{ary} eclipse. (Targets: quiet stars; activity; crowded fields)



- . Orbital and Physical properties:
 - > R_s/R_p , M_p , P , a , i , T_0
 - > Planetary Interiors
 - > Multiple: Architecture and Stability

- > Circumbinary planets
Leger et al. 09; Doyle et al. 11; Balatya et al. 12

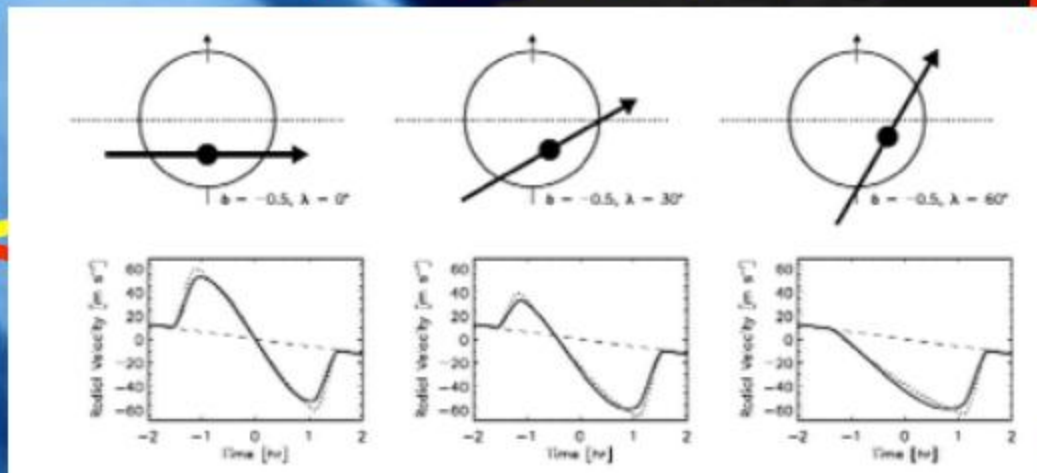
Cacciatori di Transiti in giro per il mondo



"Zero" Order Characterization

Radial Velocities:

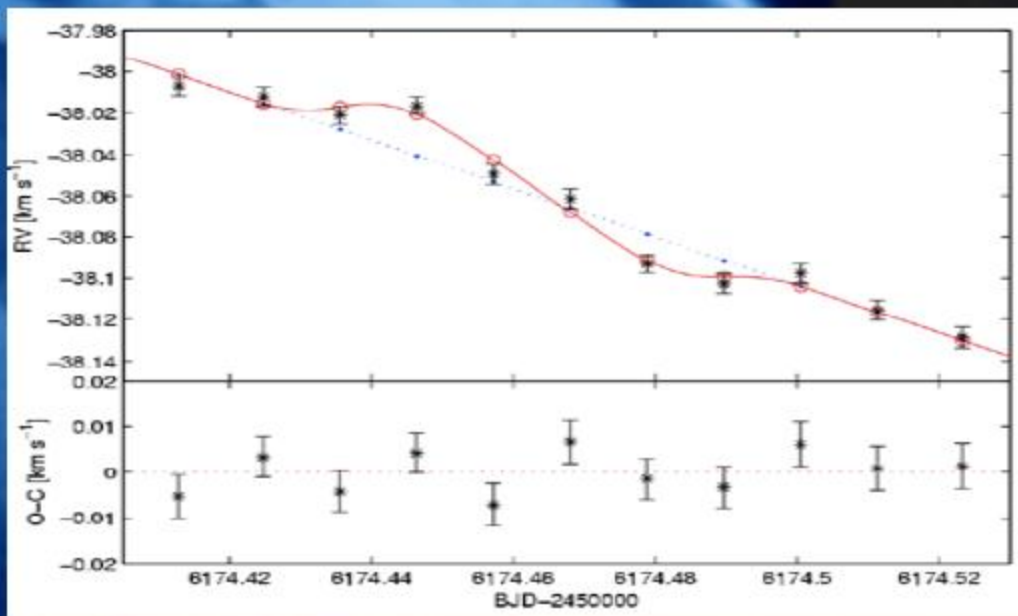
- and Physical properties: $M_p \sin(i)$, P, e, a, ω , T_0



Transits:

- and Physical properties: R_*/R_p , M_p , P, a, i, T

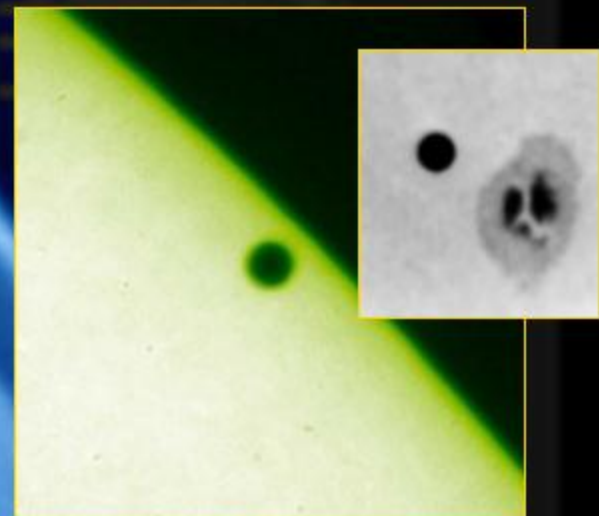
Effetto Rossiter McLaughlin



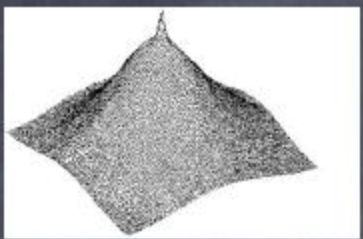
Problemi relativi alle Survey di transiti

Statistica (solamente ~1/1000 delle stelle di tipo solare puo' mostrare transiti: grandi aree di cielo o magnitudini deboli)

Accuratezza Fotometrica (errore <0.01 mag per pianeti giganti, <0.0001 mag per pianeti terrestri; il secondo valore raggiungibile solo dallo spazio a causa della scintillazione)
Copertura temporale



Falsi allarmi (<1/10 dei candidati sono confermati come pianeti in transito: sono richiesti follow-up con la tecnica delle high precision radial velocities)



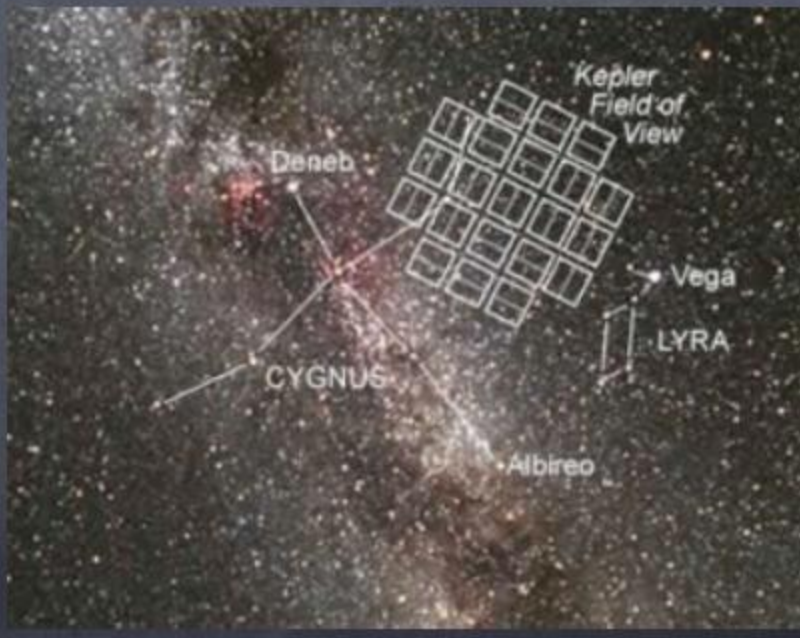
Field of view



- Will monitor 60,000 stars for 150 days
- Can detect Super-Earths

Kepler

Field of view



- Will monitor 150,000 stars for 3.5 years
- Will determine rate-of-occurrence of *true* Earth analogs

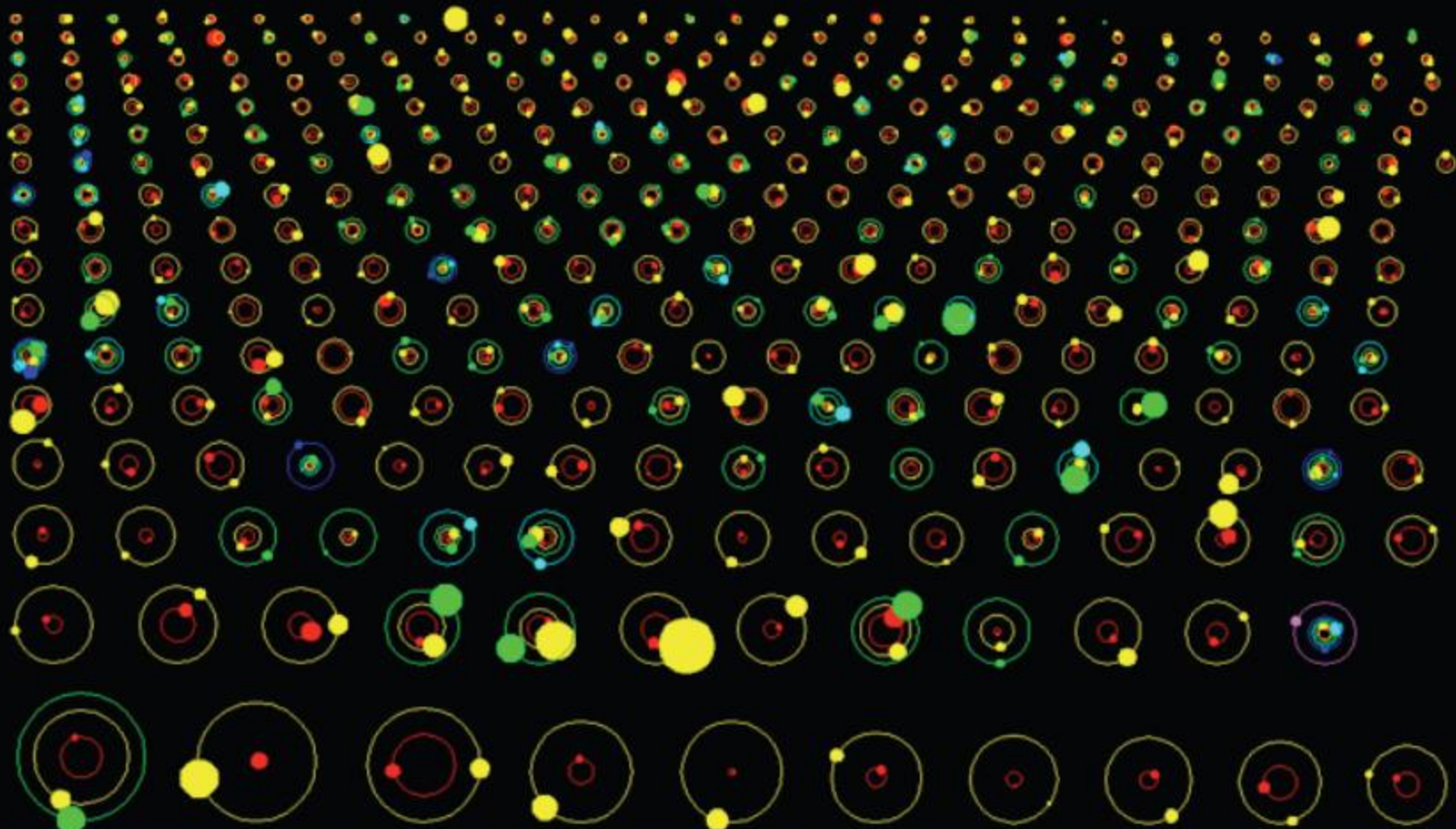
Per vedere l'animazione:

<http://kepler.nasa.gov/multimedia/animations/?ImageID=219>

The Kepler Orrery II

$t[\text{BJD}] = 2454965$

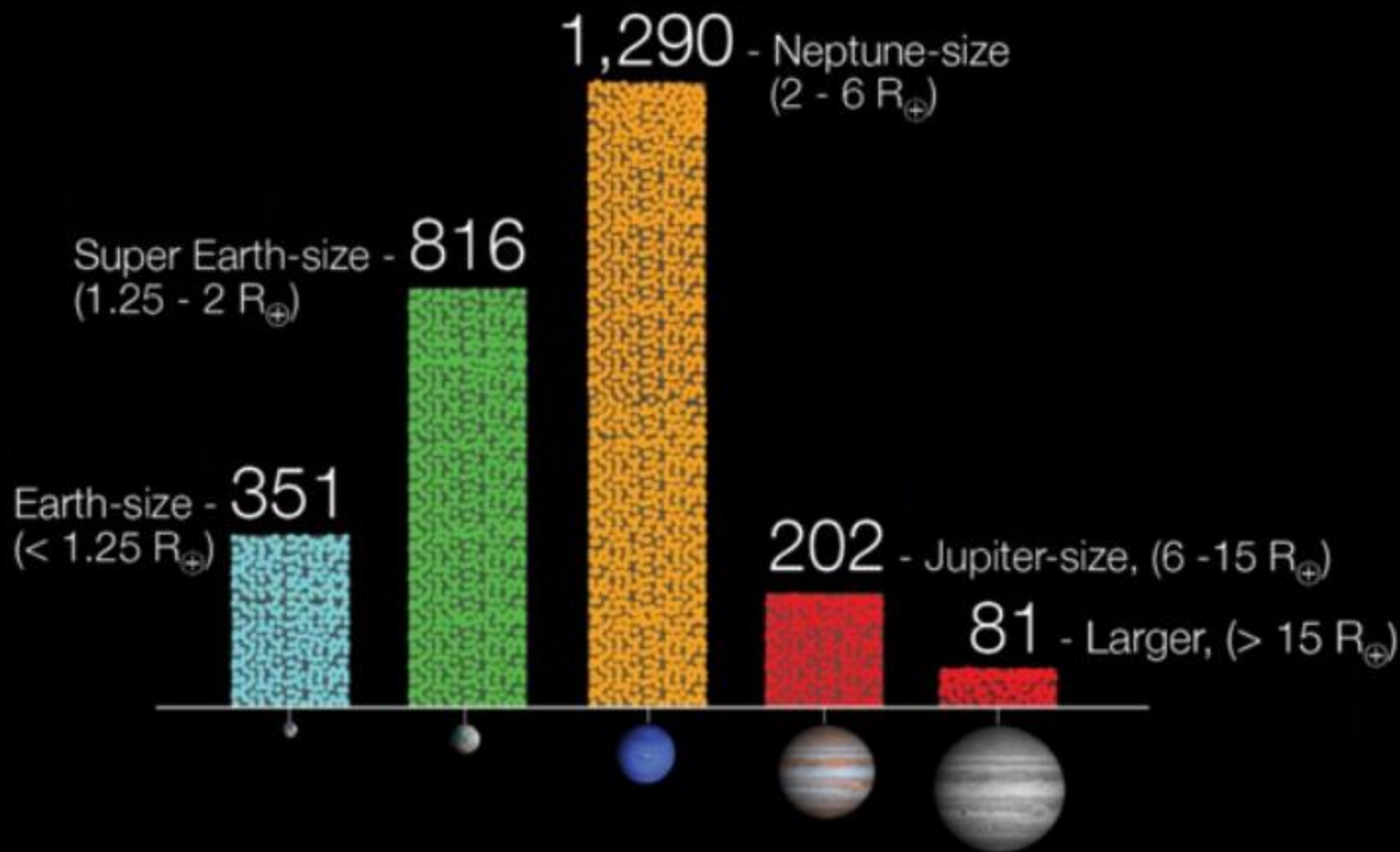
D. Fabrycky 2012



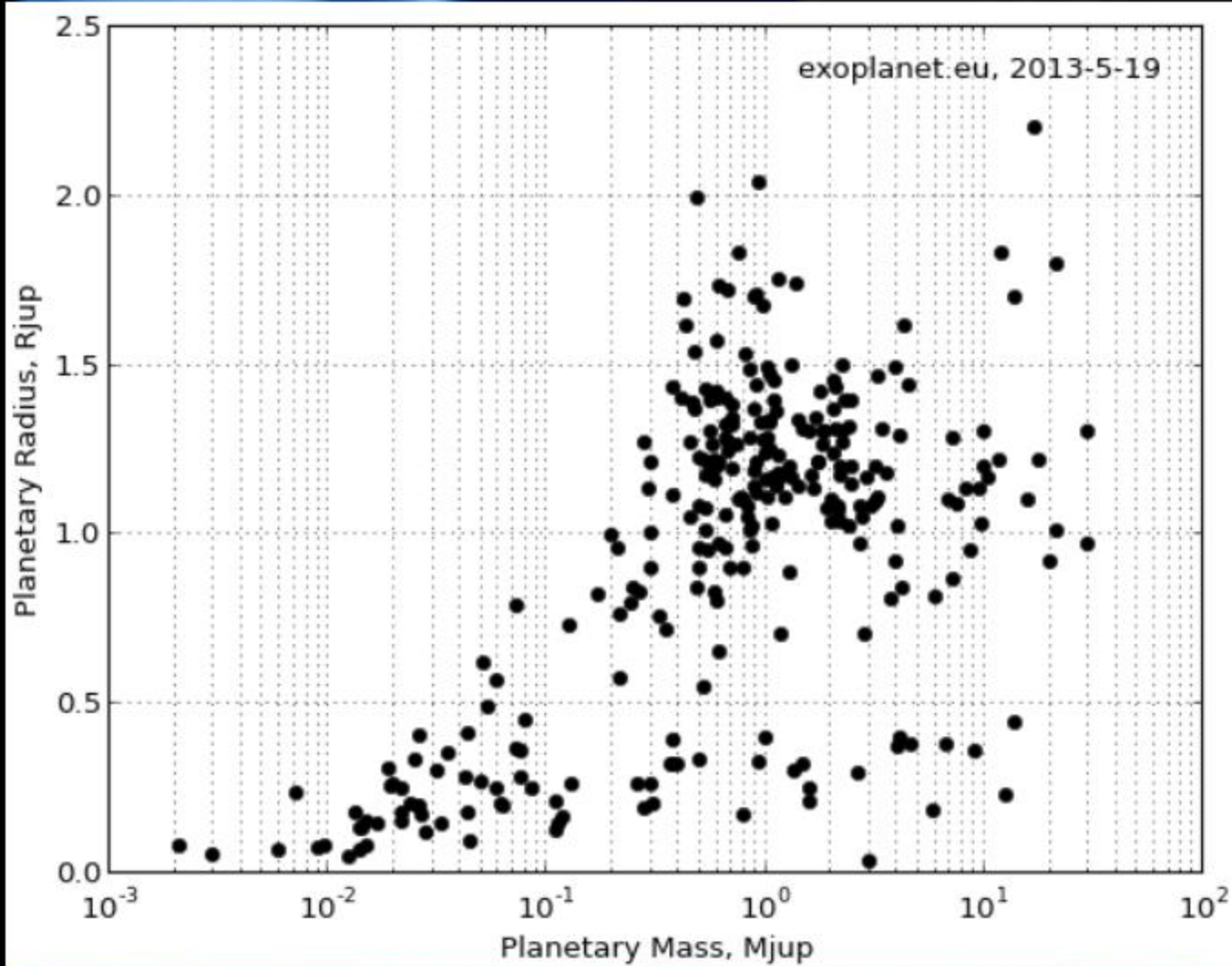


Sizes of Planet Candidates

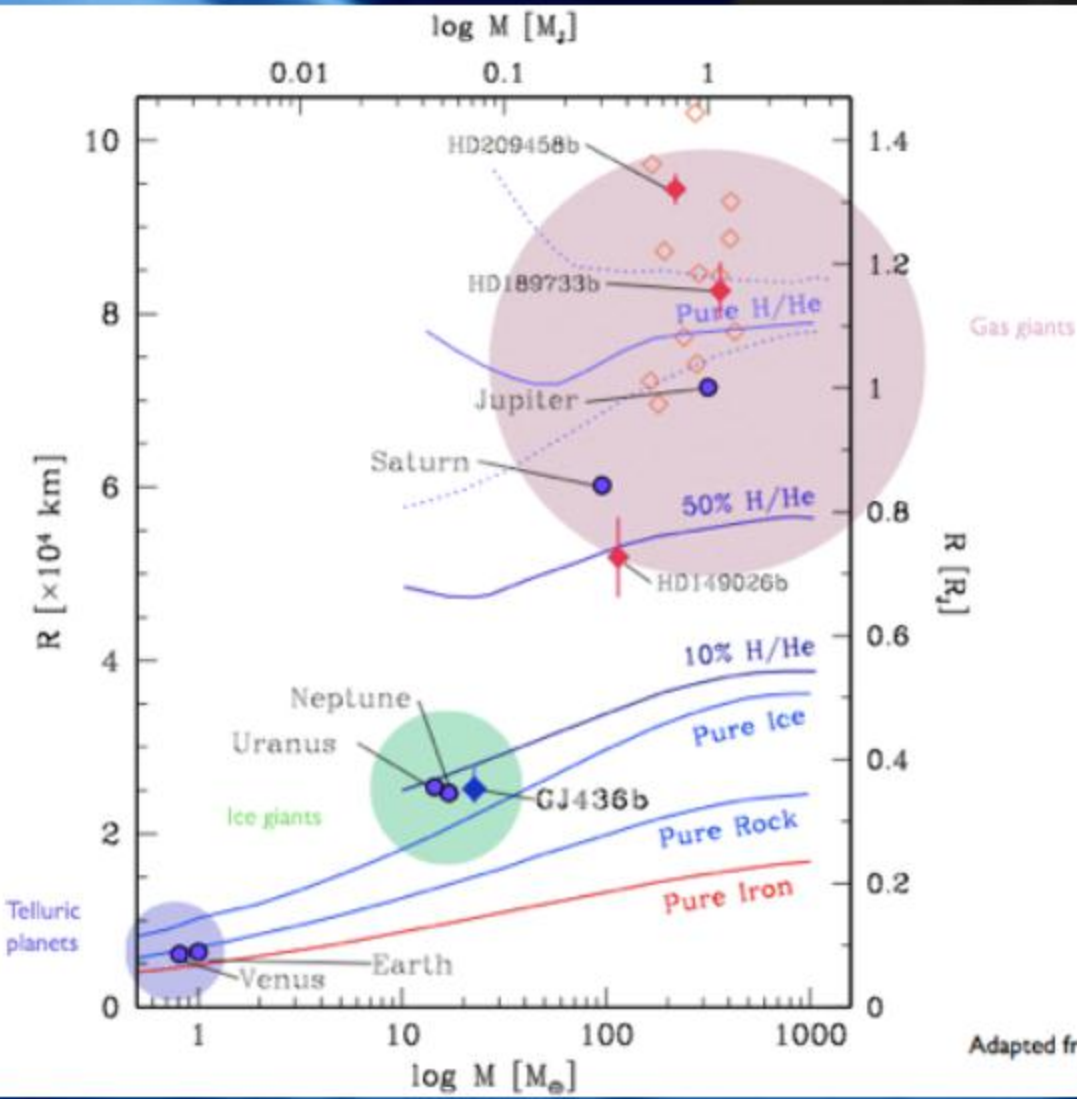
As of January 7, 2013



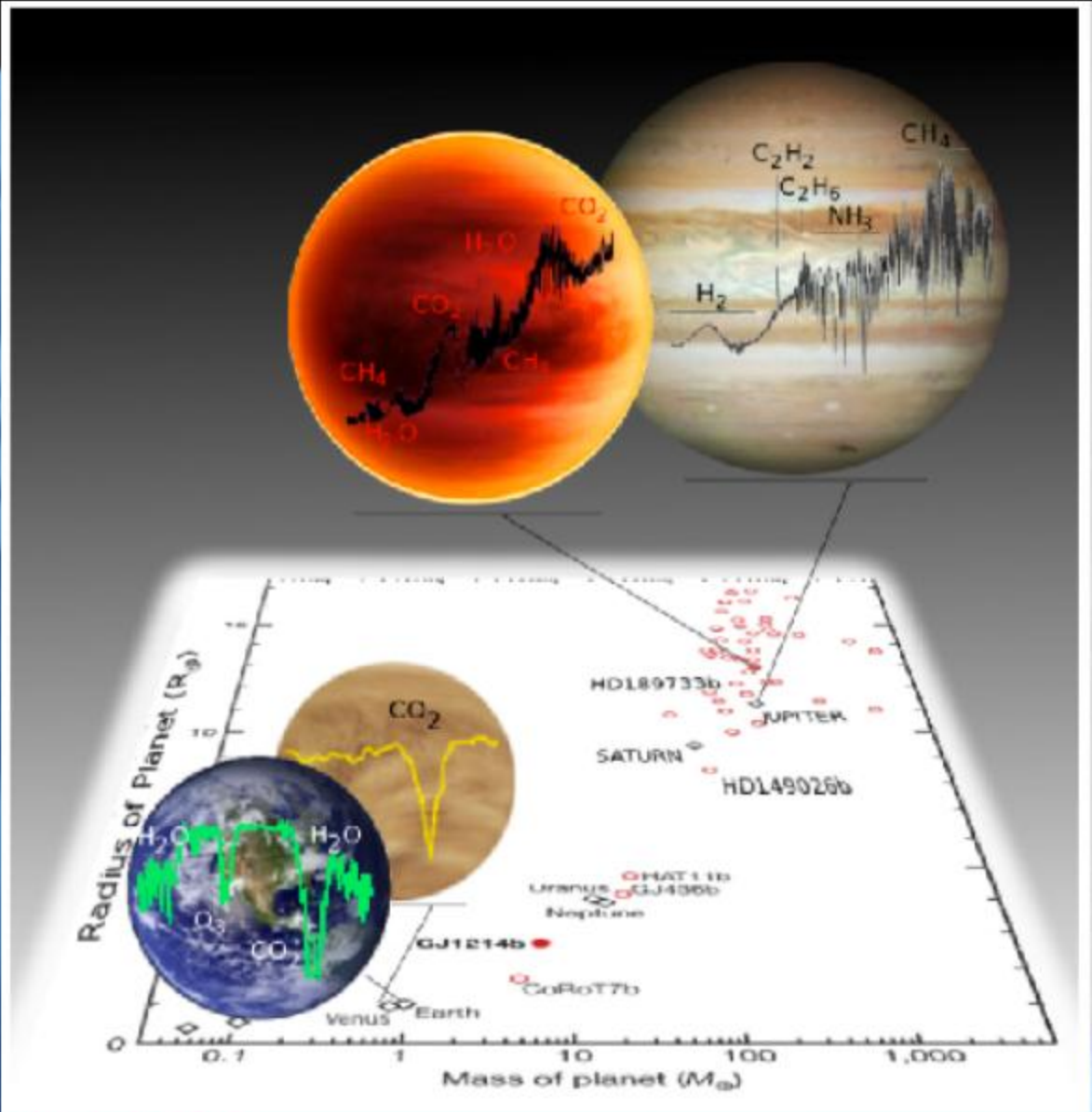
Risultati dai transiti



Relazione Massa Raggio



Adapted from Fortney et al. 2007

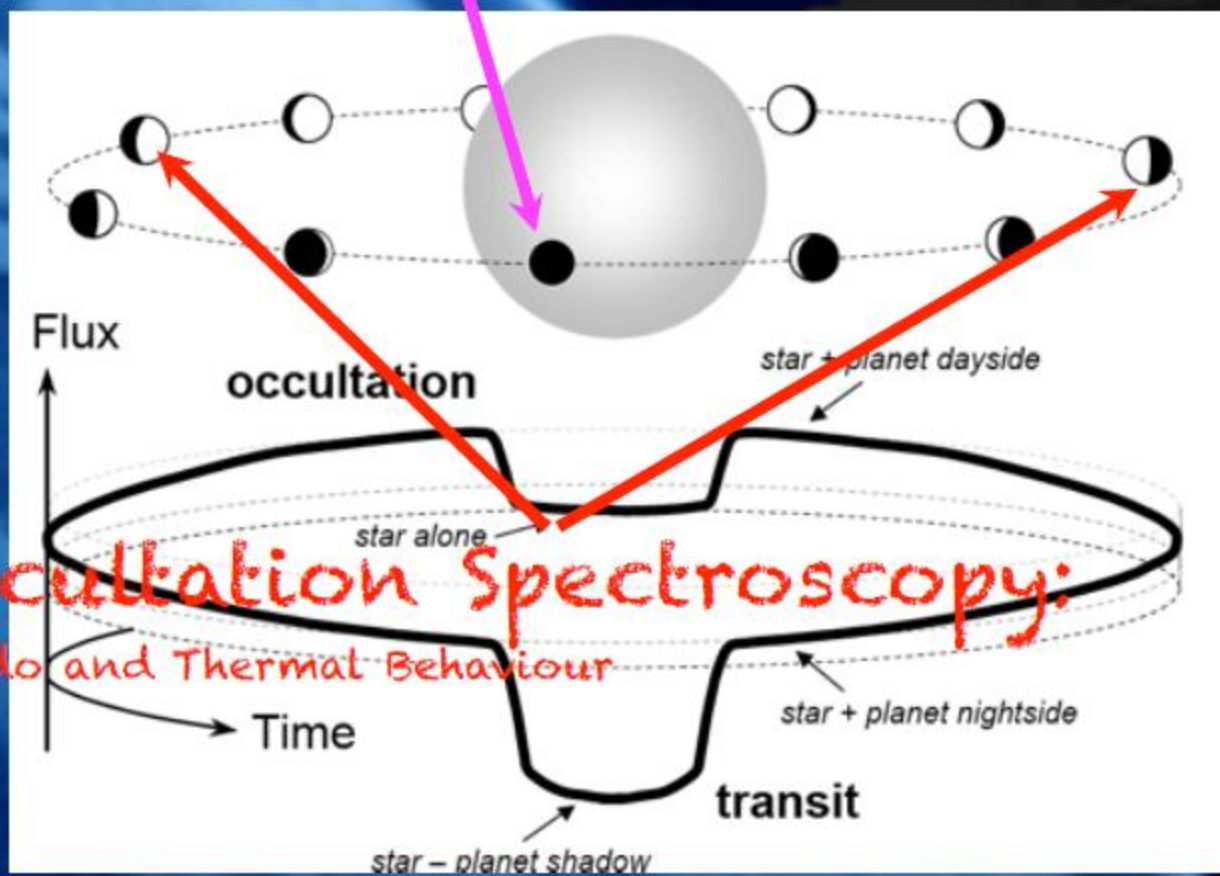


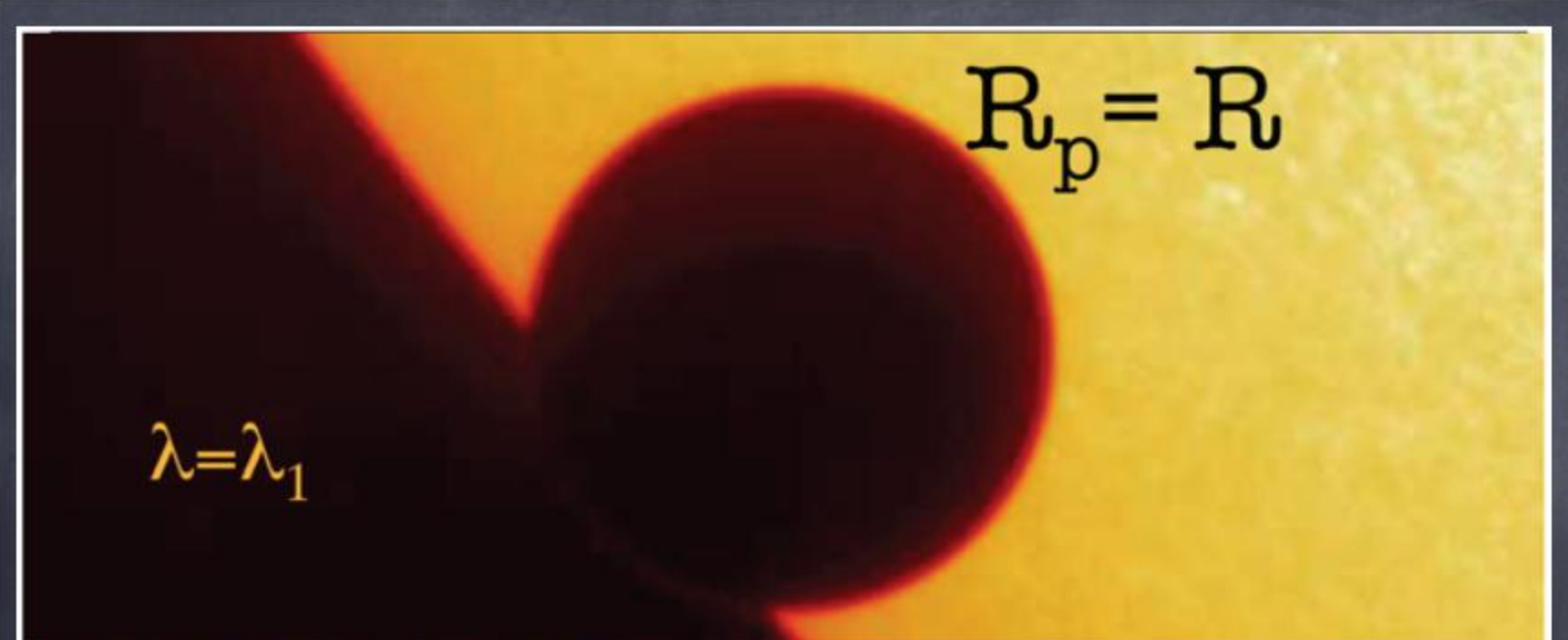
Ref: Tinetti et al., 2012;

Spectroscopy ...

Transmission Spectroscopy:

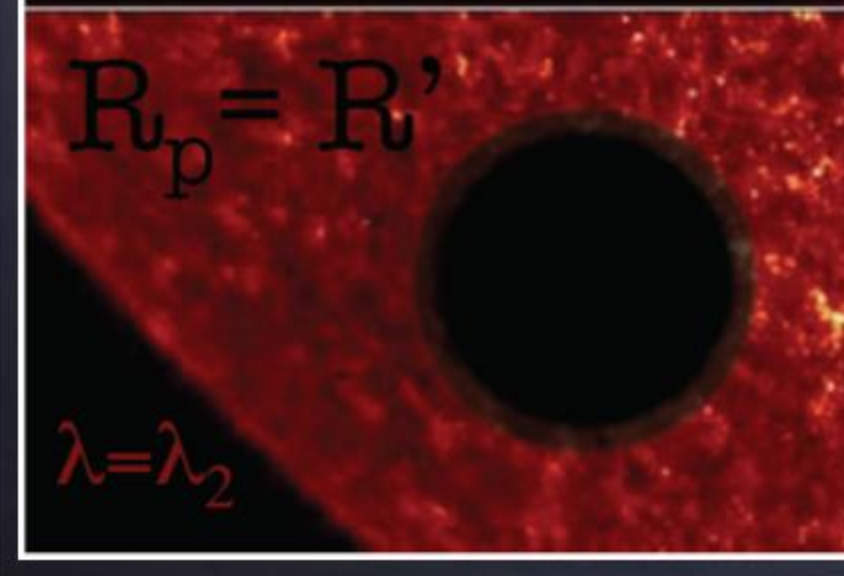
Atmospheric composition





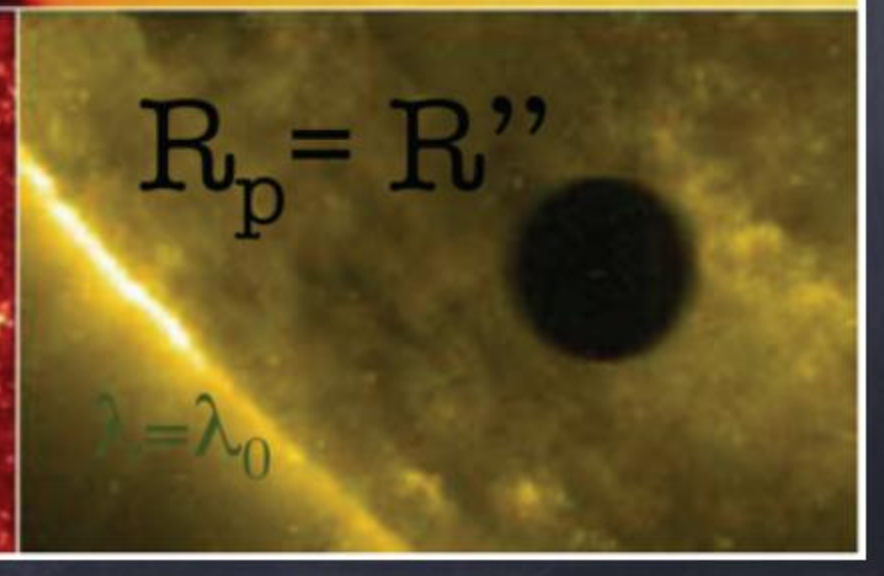
$R_p = R$

$\lambda = \lambda_1$



$R_p = R'$

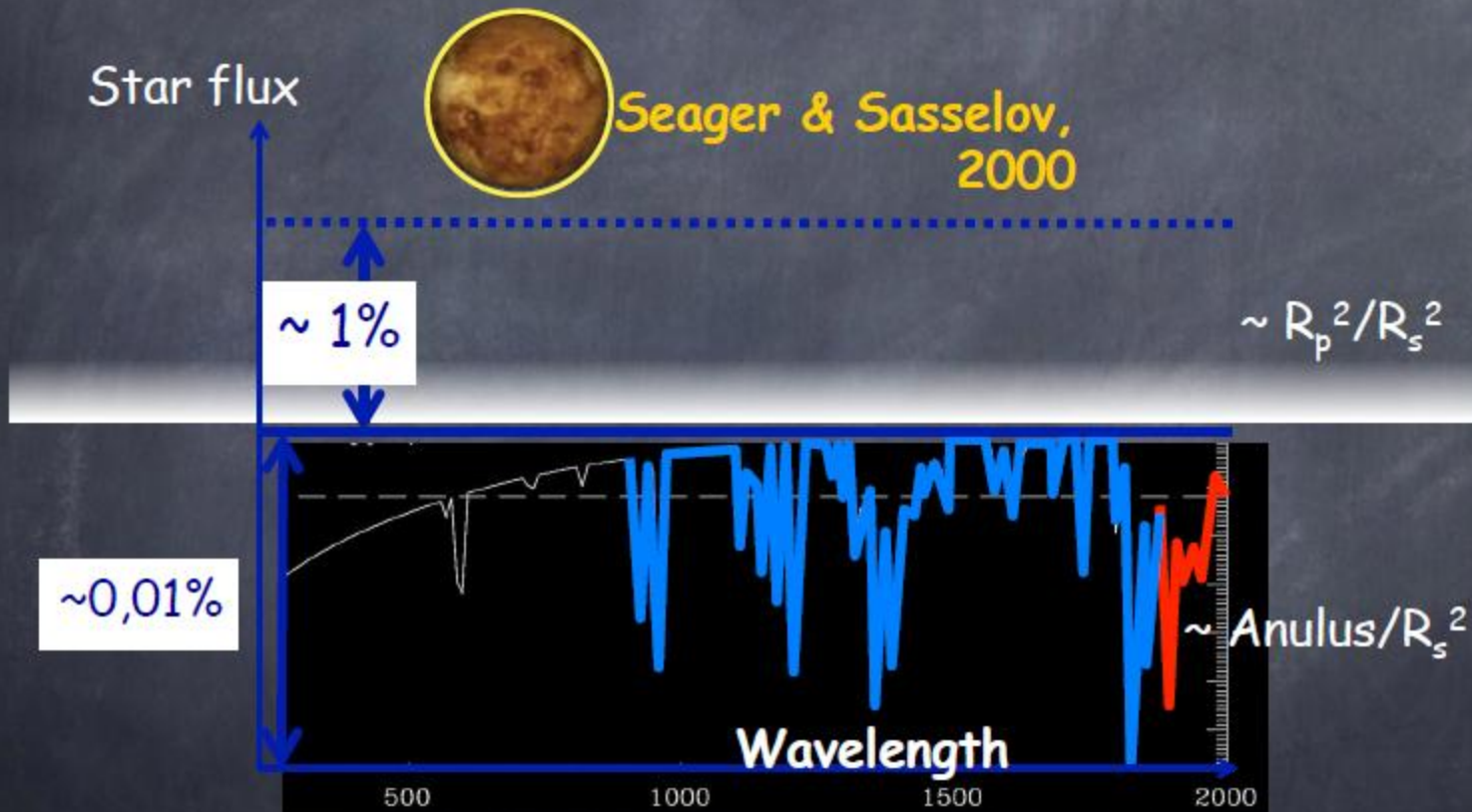
$\lambda = \lambda_2$

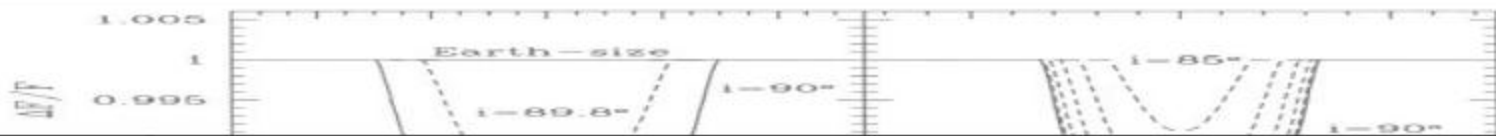


$R_p = R''$

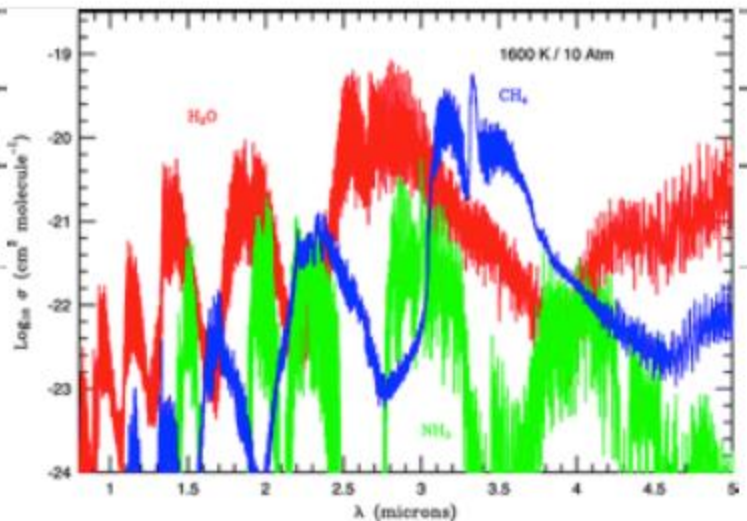
$\lambda = \lambda_0$

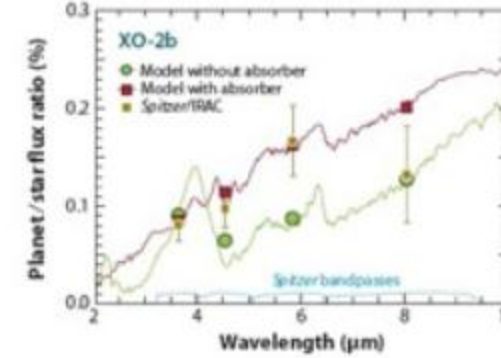
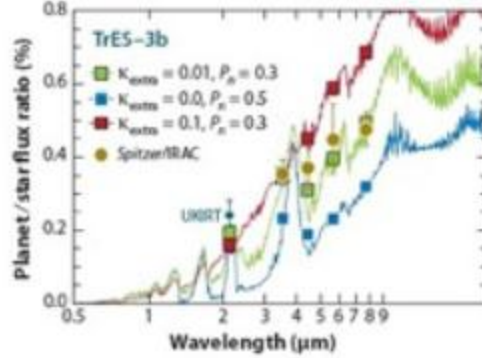
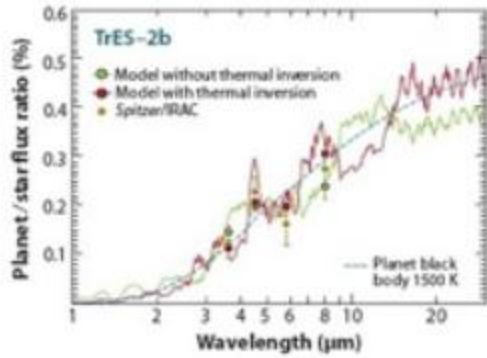
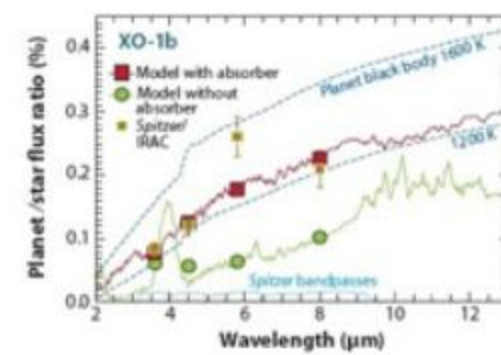
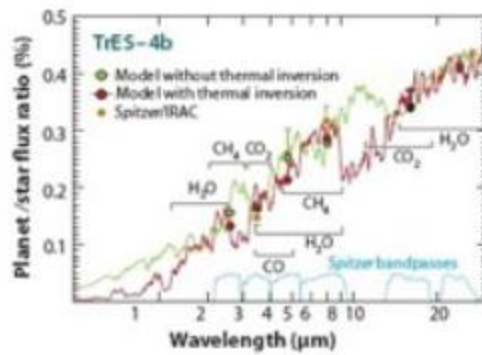
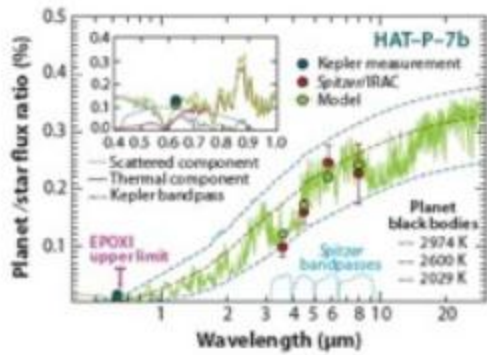
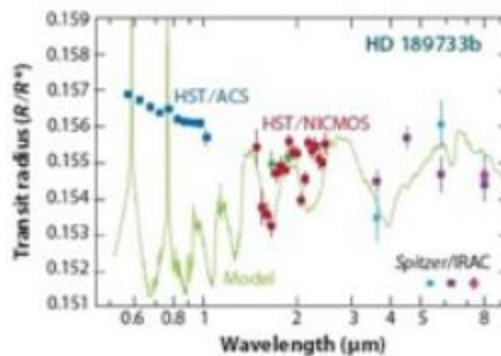
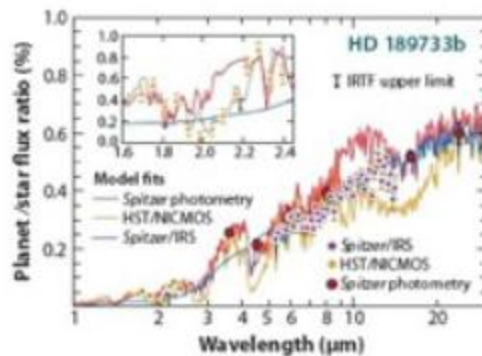
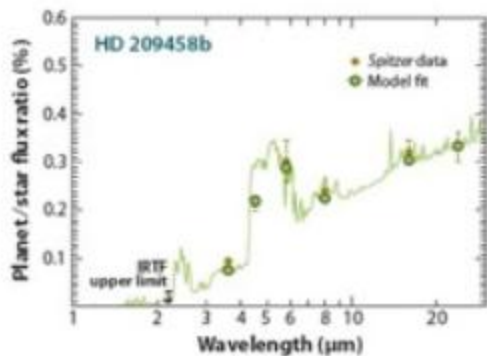
Trasparencies...and spectra





Molecule	Absorption bands (μm)
H ₂ O	0.51, 0.57, 0.61, 0.65, 0.72, 0.82, 0.94, 1.13, 1.41, 1.88, 2.6
CH ₄	0.48, 0.54, 0.57, 0.6, 0.67, 0.7, 0.79, 0.84, 0.86, 0.73, 0.89, 1.69, 2.3
CO ₂	1.21, 1.57, 1.6 , 2.03
NH ₃	0.55, 0.65, 0.93, 1.5 , 2, 2.3
O ₃	0.45- 0.75 (the Chappuis band)
O ₂	0.58, 0.69, 0.76, 1.27
CO	1.2, 1.7 , 2.4
H ₂ S	1.56, 1.9

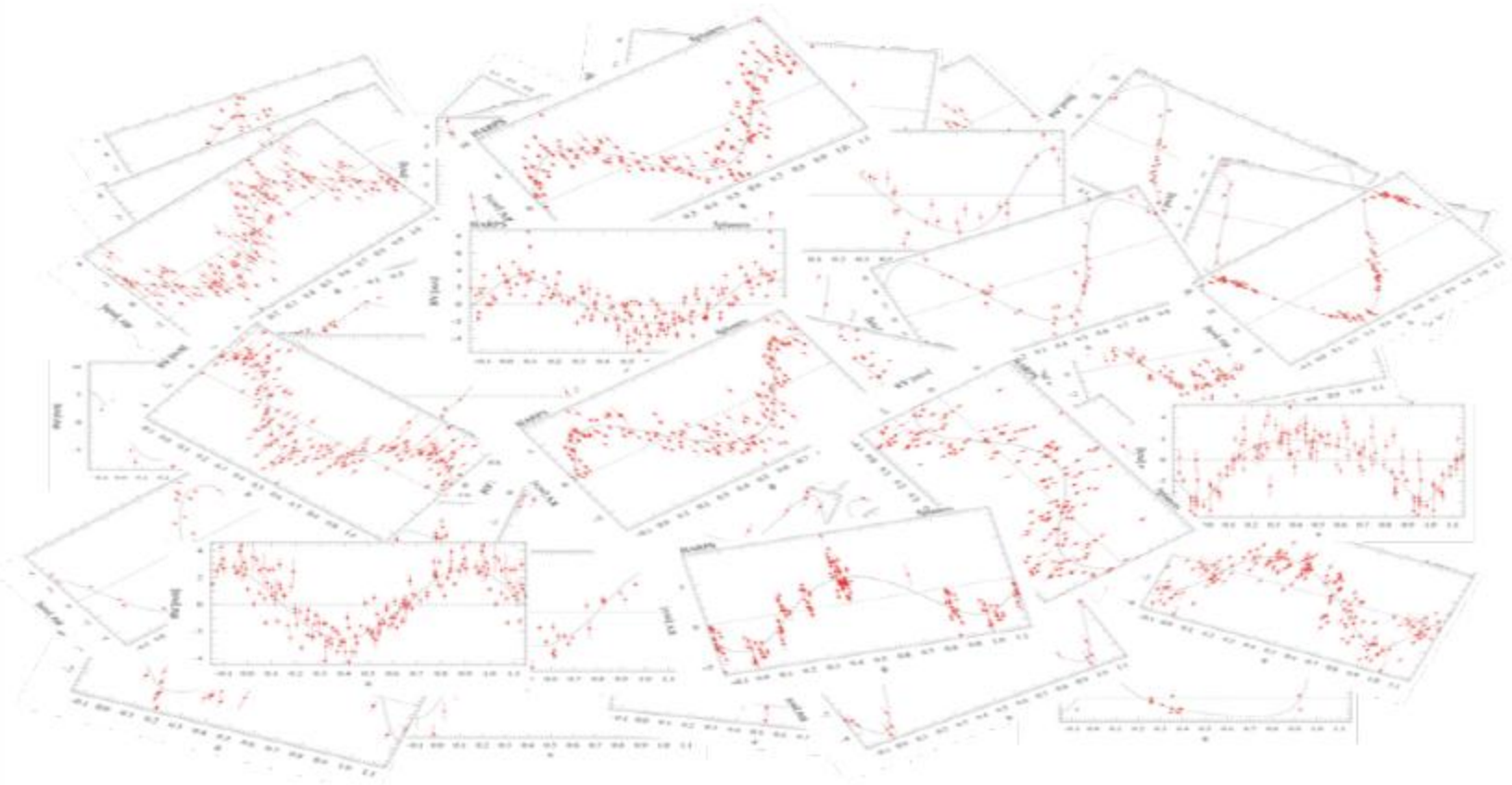




Ref: Seager & Deaming, 2010;

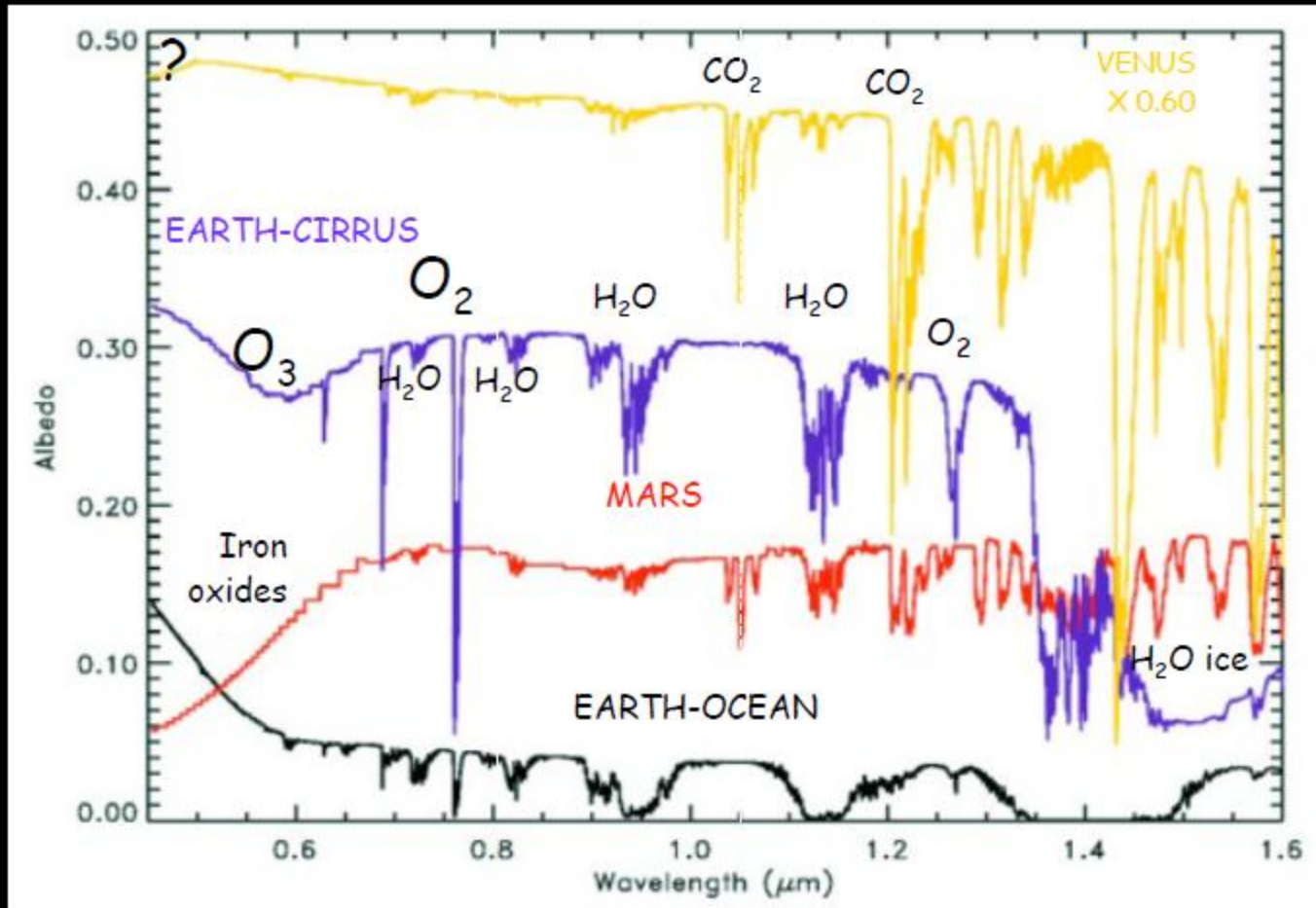
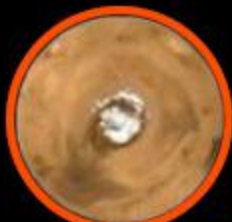
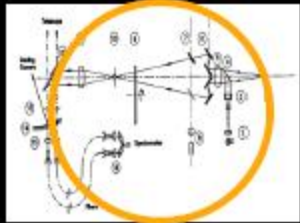
Giant Planets + Titan in the VIS

UCL

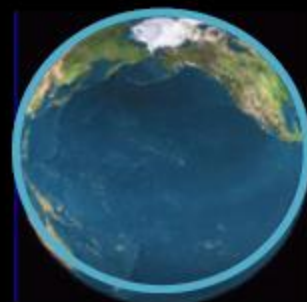
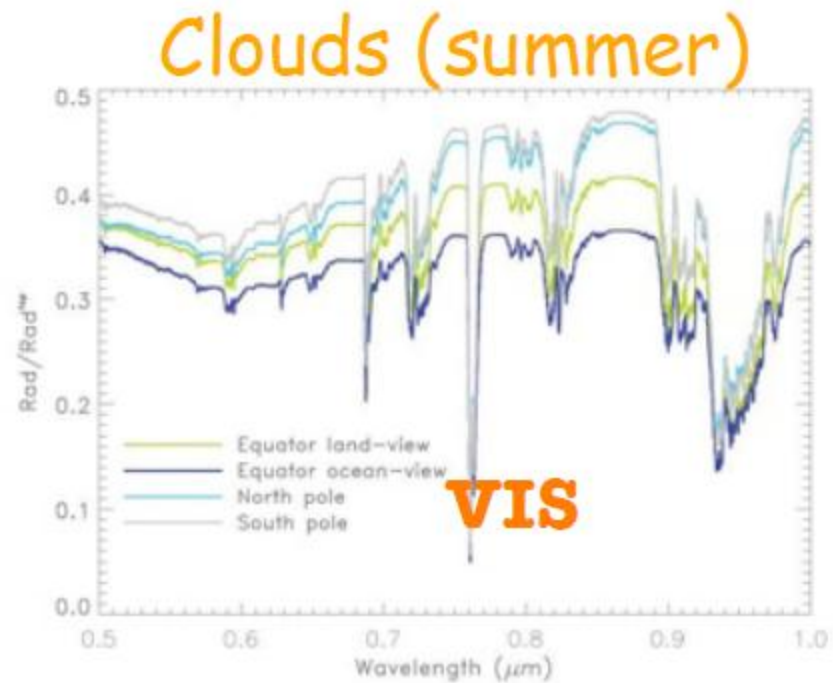
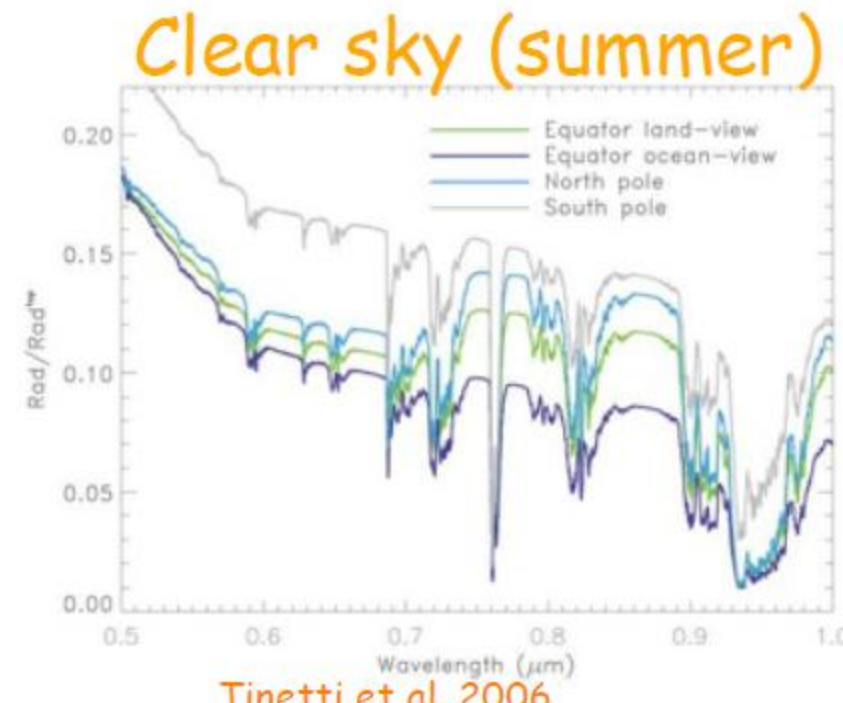


Karkoschka, Icarus, 1998

VIS-Near-IR signatures for terrestrial planets in our Solar System



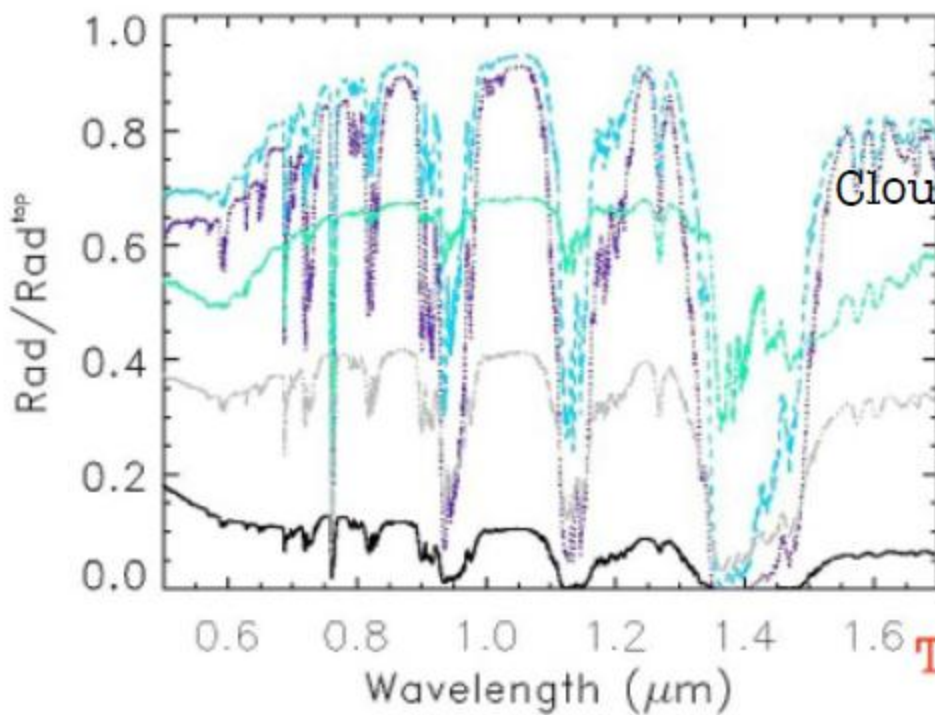
Sensitivity to Viewing geometry



Sensitivity to Phases



Earth disk-averaged spectra,
3D model

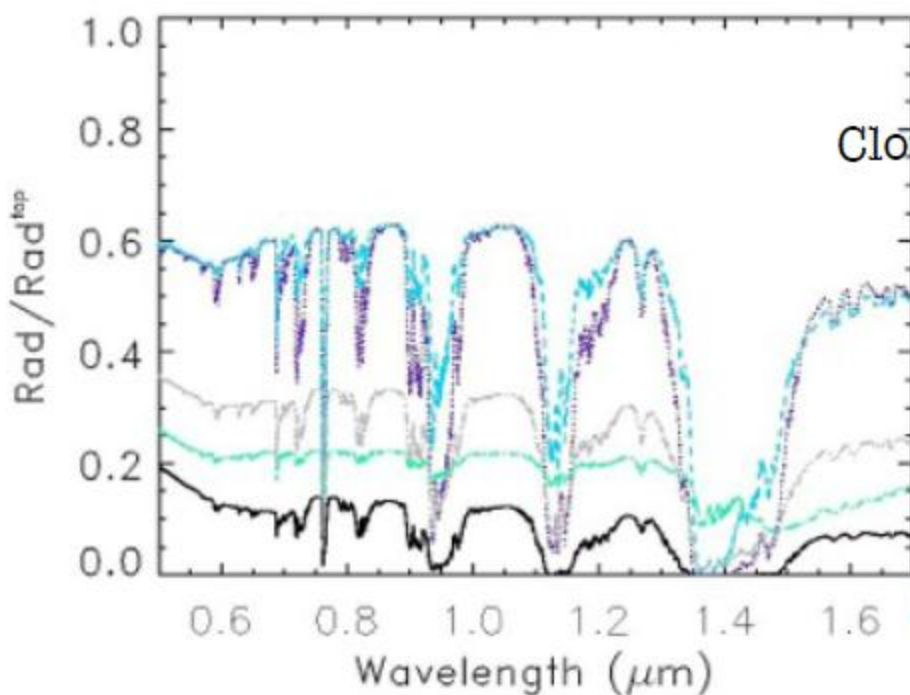


Tinetti et al., *Astrobiology*, 2006

Sensitivity to Phases



Earth disk-averaged spectra,
3D model



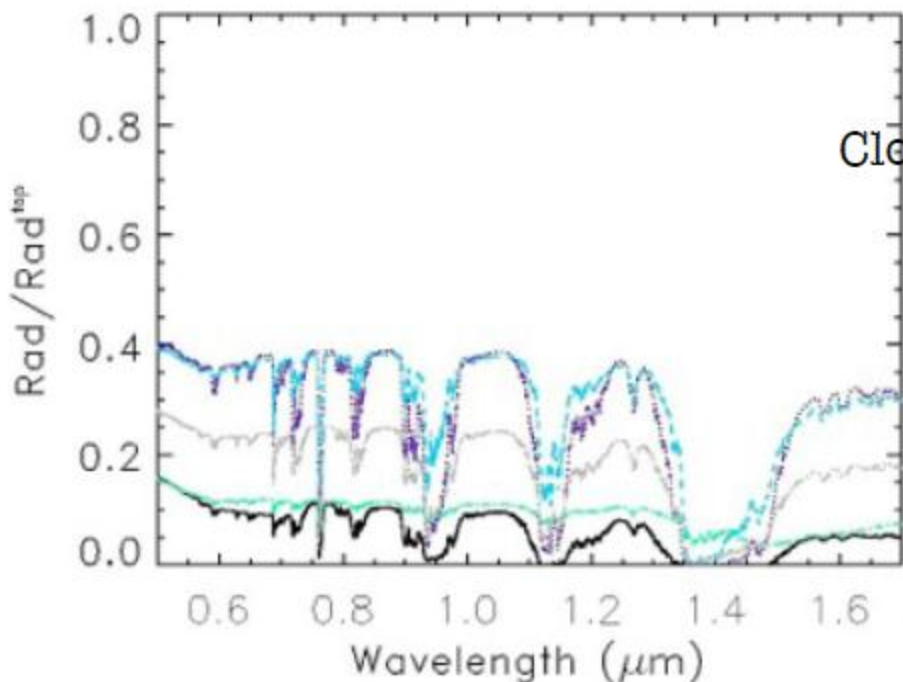
Cloud-less disk-averaged spectrum
Realistic clouds
100% Strato-cumulus clouds
100% Alto-stratus clouds
100% Cirrus clouds

Tinetti et al., *Astrobiology*, 2006

Sensitivity to Phases



Earth disk-averaged spectra,
3D model



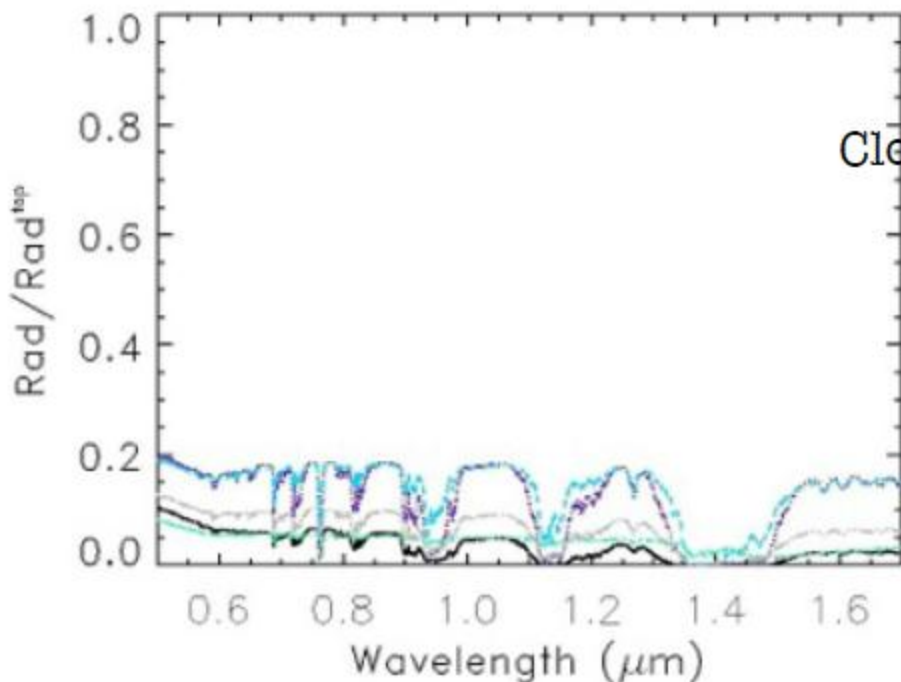
Cloud-less disk-averaged spectrum
Realistic clouds
100% Strato-cumulus clouds
100% Alto-stratus clouds
100% Cirrus clouds

Tinetti et al., *Astrobiology*, 2006

Sensitivity to Phases



Earth disk-averaged spectra,
3D model

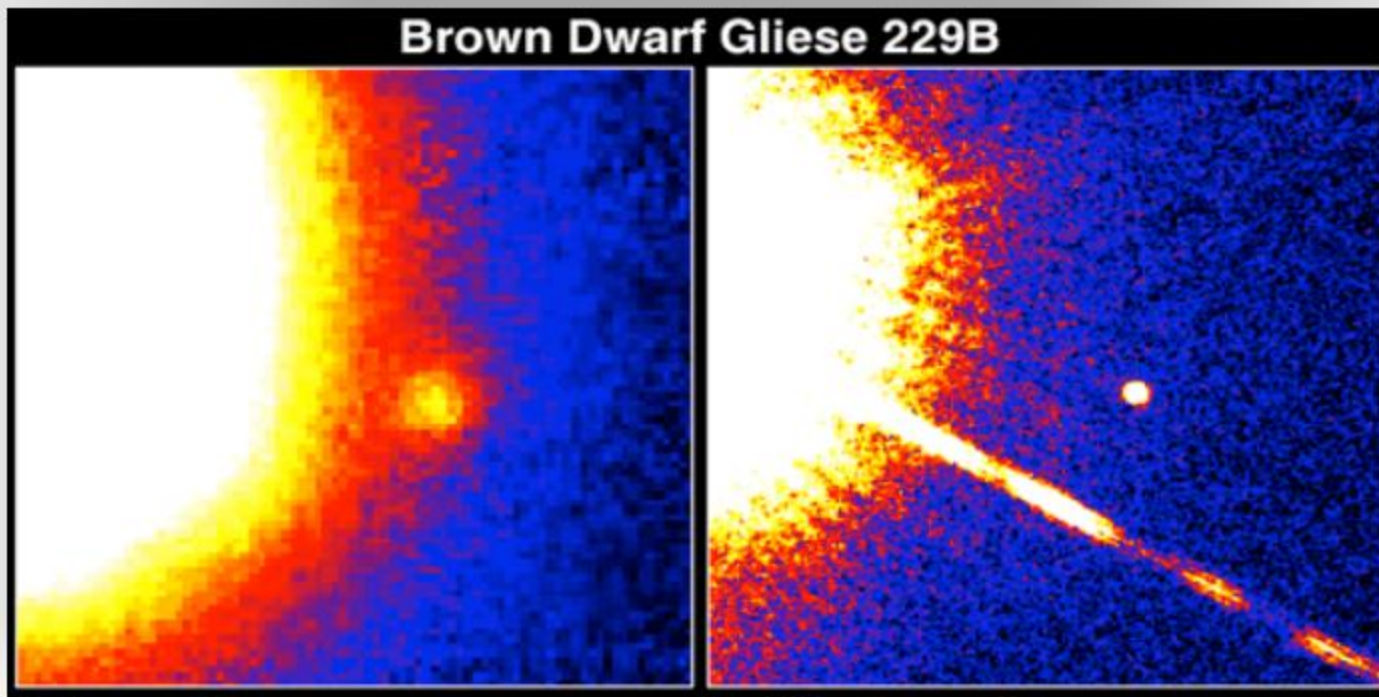


Cloud-less disk-averaged spectrum
Realistic clouds
100% Strato-cumulus clouds
100% Alto-stratus clouds
100% Cirrus clouds

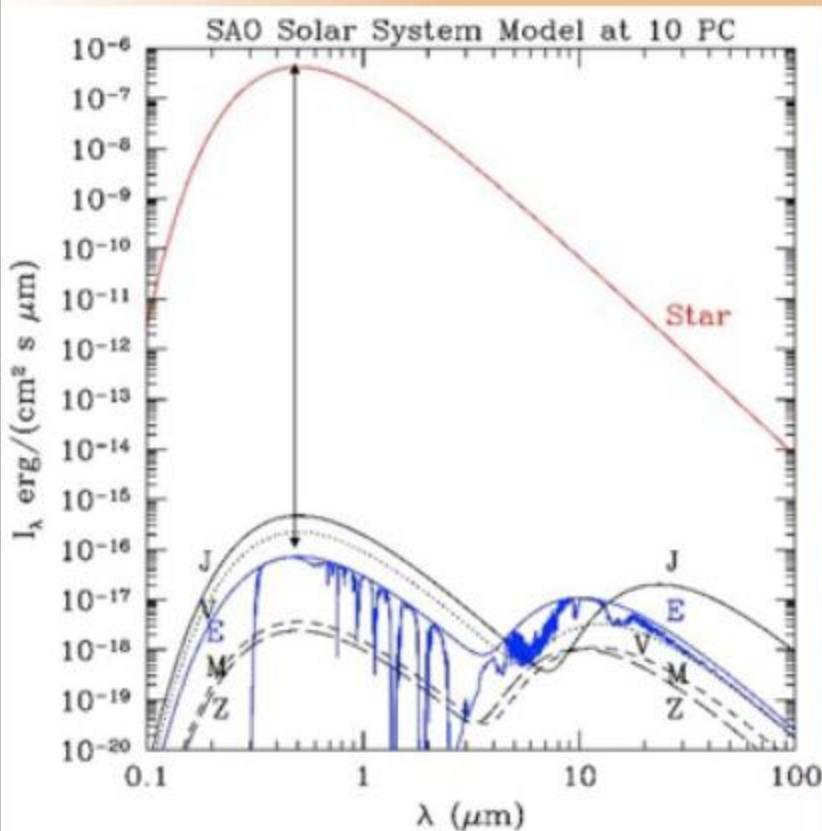
Tinetti et al., *Astrobiology*, 2006

Difficoltà Osservative

- enorme differenza di luminosità tra la stella e il pianeta (10^8 volte nel caso Sole-Giove)
- piccola separazione angolare (0.5 arcsec per il sistema Sole-Giove visto da 10 pc di distanza)



La sfida dell'imaging diretto



Pianeta	a(AU)	ΔV (mag)	ρ_5 (arcsec)	ρ_{10} (arcsec)	ρ_{50} (arcsec)	ρ_{100} (arcsec)
Mercurio	0.39	24.6	0.078	0.039	0.0078	0.0039
Venere	0.72	21.6	0.144	0.072	0.0144	0.0072
Terra	1.00	23.0	0.200	0.100	0.0200	0.0100
Marte	1.52	26.4	0.304	0.152	0.0304	0.0152
Giove	5.20	21.3	1.040	0.520	0.1040	0.0520
Saturno	9.54	22.9	1.908	0.954	0.1908	0.0954
Urano	19.18	26.2	3.836	1.918	0.3836	0.1918
Nettuno	30.06	27.4	6.012	3.006	0.6012	0.3006
Plutone	39.44	33.7	7.888	3.944	0.7888	0.3944

Contrasto di luminosità

Jupiter/Sun = 10^{-8} = 20 mag

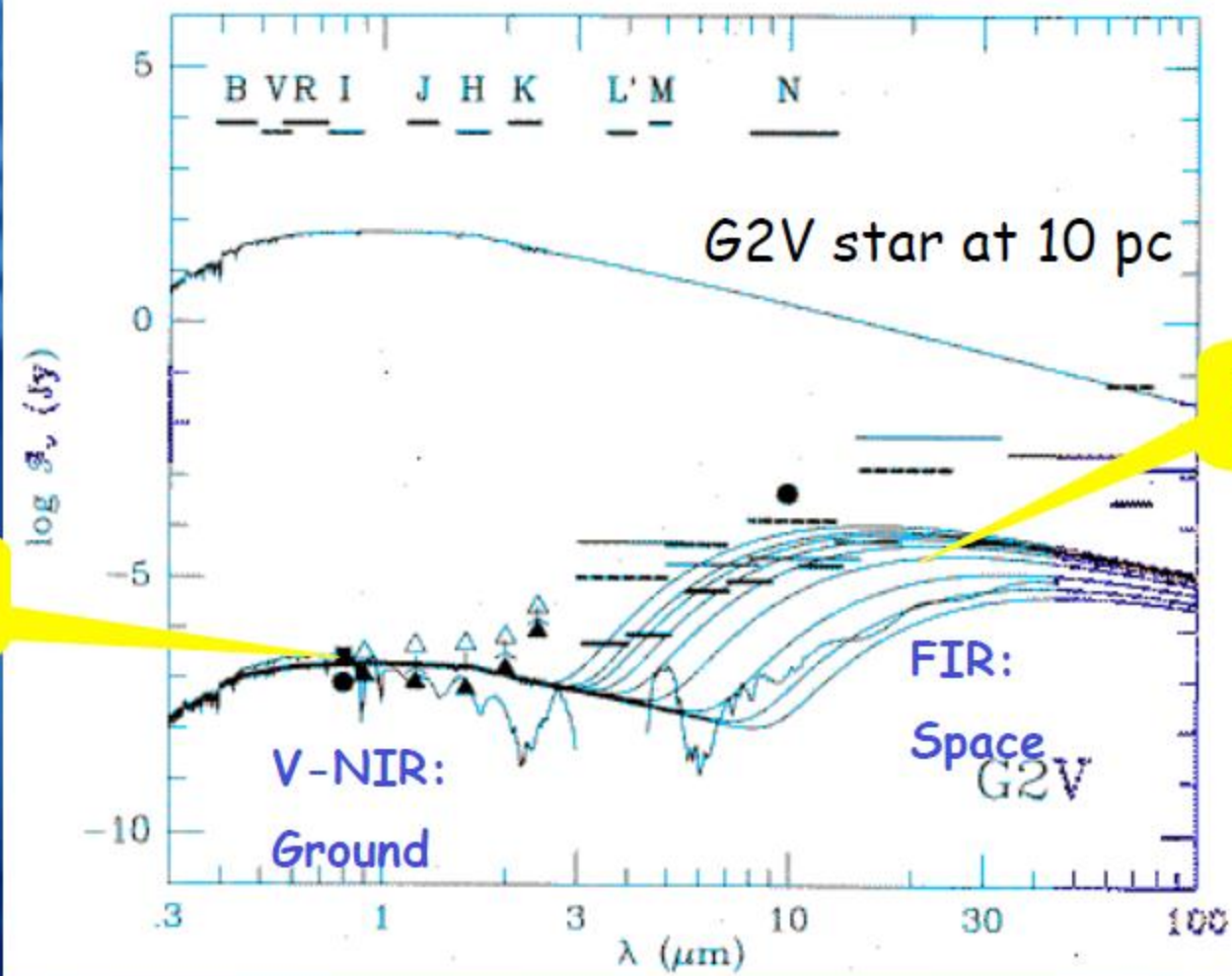
Earth/Sun = 10^{-10} = 25 mag

Separazione angolare:

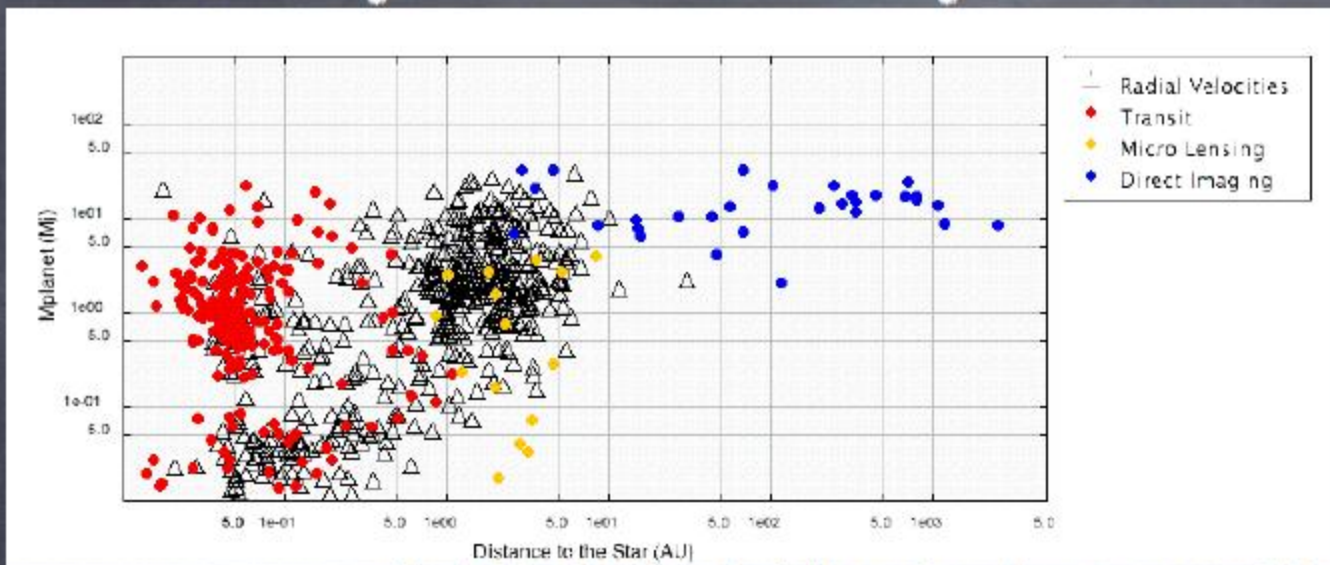
Jupiter = 0.5 arcsec @ 10 pc

Jupiter = 0.1 arcsec @ 50 pc

Selezione del range di lunghezza d'onda

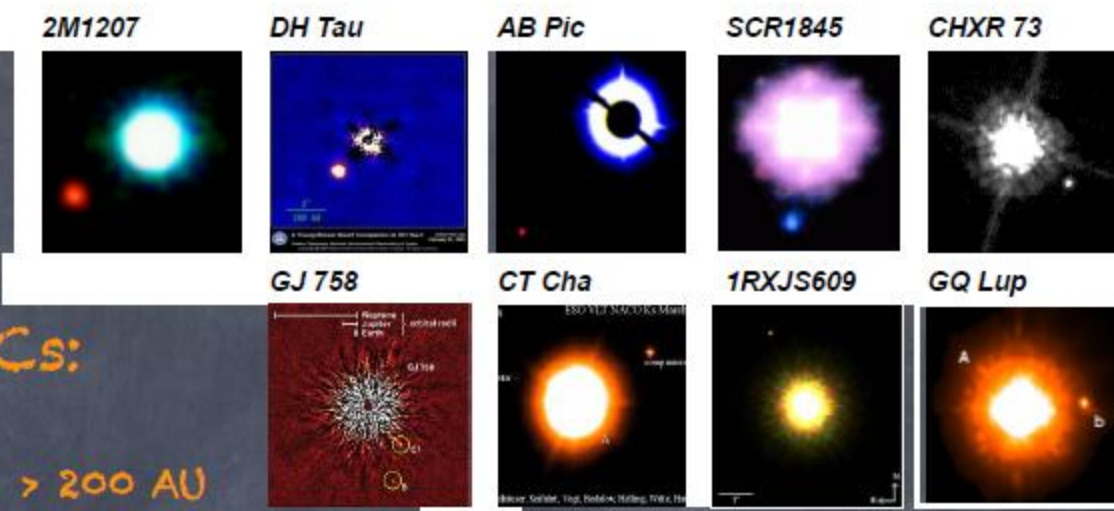


Direct Imaging: Direct technique: Planet's photons
(Targets: young and nearby stars)



- Orbital And Physical properties:
 - > L , a , e , i , ω , T_0
 - > Giant planets at wide orbits (> 10 AU)
 - > Multiple: Architecture and Stability
 - > Planet - disk connection
- Chauvin et al. 05, 10; Lafrenière et al. 09
Soummer et al. 11; Vigan et al. 12

Family's Portrait



Wide orbit PMCs:

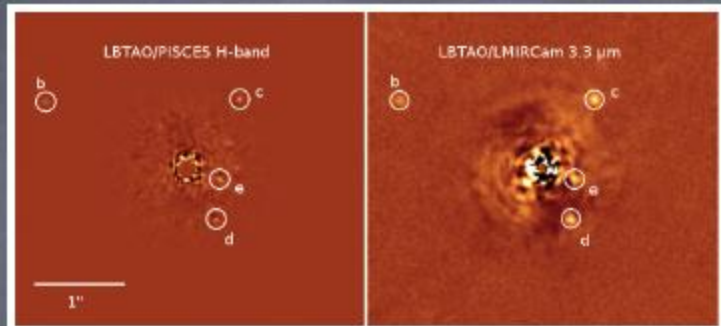
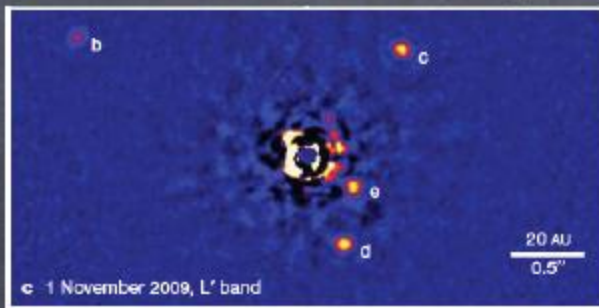
- Low mass KM stars
- $q = 0.02 - 0.2$ or $\Delta > 200$ AU

Closer PMCs:

- A4V-ASV massive primaries
- $q < 0.005$; $\Delta = 8 - 120$ AU
- CS Disk signatures

Ref: Chauvin et al. 04; Itoh et al. 05; Chauvin et al. 05; Biller et al. 05; Luhman et al. 06; Thalmann et al. 09; Lafrenière et al. 08; Neuhauser et al. 05; Schmidt et al. 09; Lagrange et al. 10; Kalas et al. 08; Marois et al. 08,10...

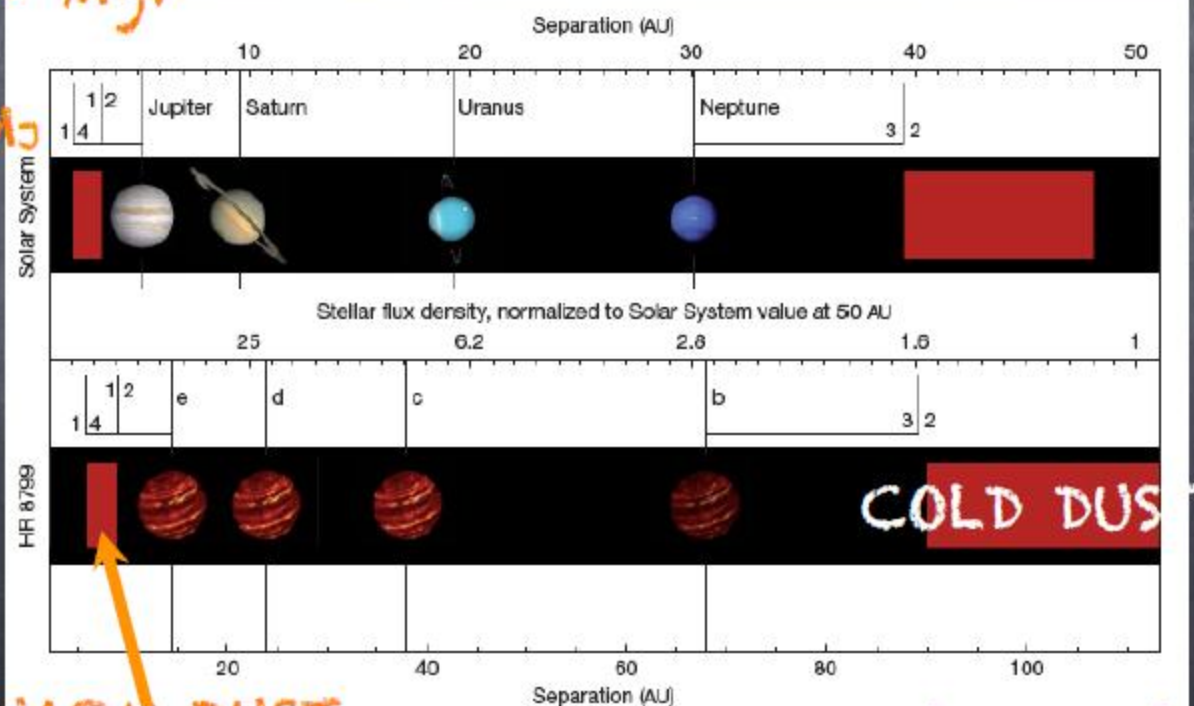
HR 8799 b, c, d, e



Age 30-60 Myr

ASV

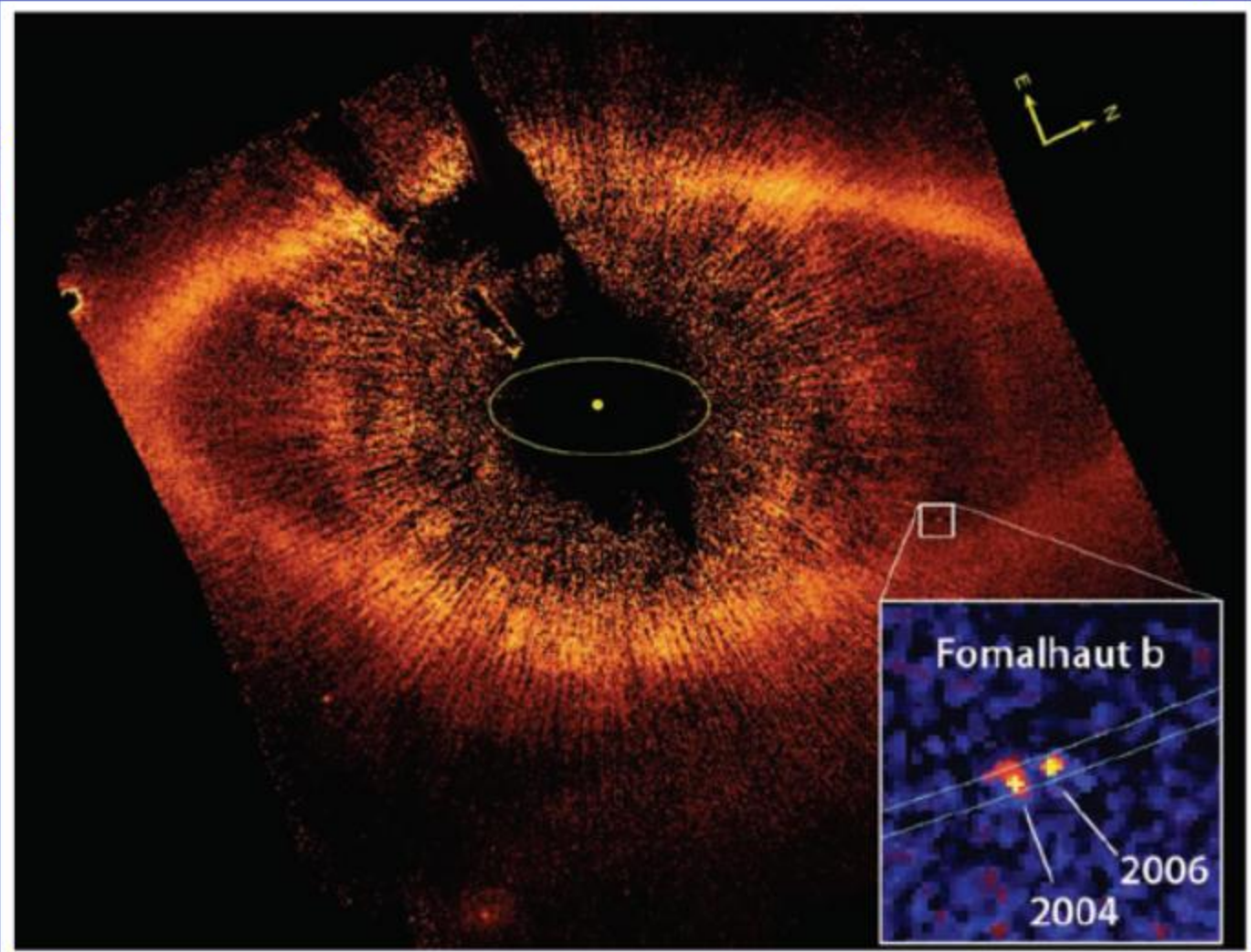
$5 \leq M_p \leq 10 M_J$



Marois et al., 2010; Skemer et al., 2012

HST Coronographic image

$d=7.7$ pc
 $a=119$ UA



Kalas et al. 2008